

Nicol ouvert

0 0.4mm



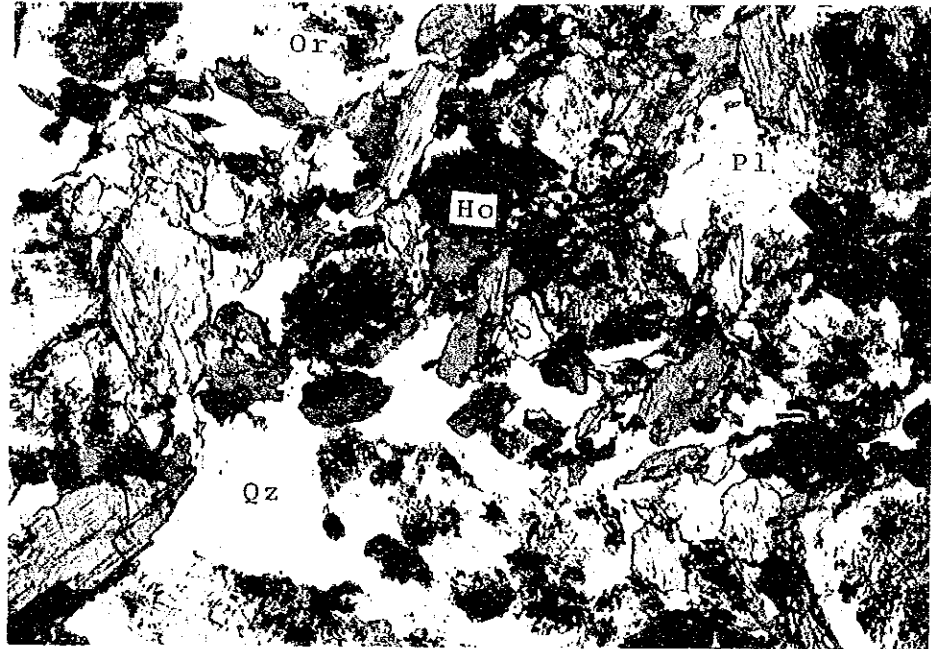
Nicol croiseur

0 0.4mm

Numéro d'échantillon: NZ241  
Nomenclature : Amphibolite

Amphibolite





Nicol ouvert

0 0.4mm



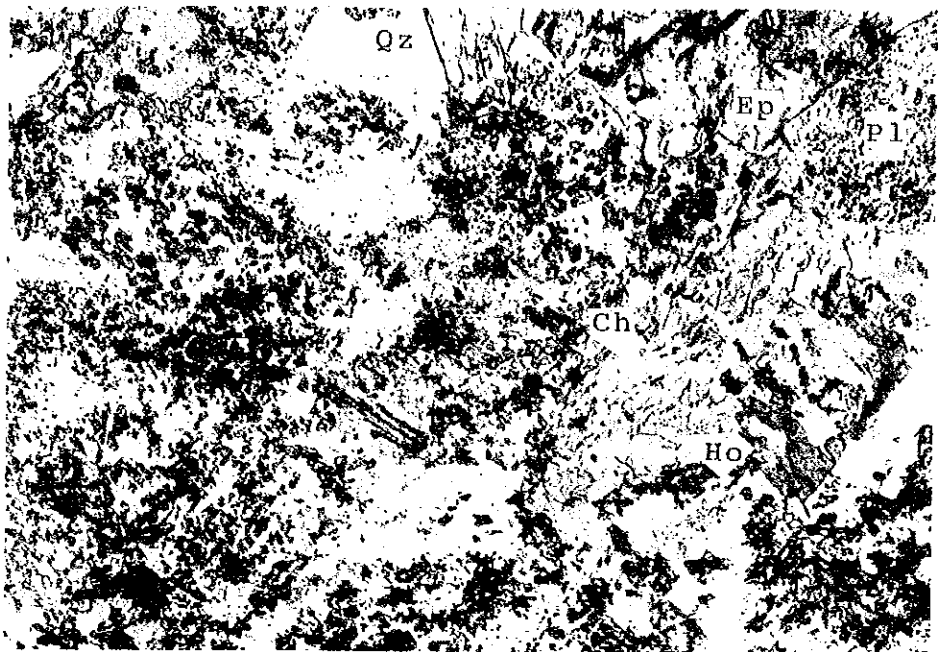
Nicol croiseur

0 0.4mm

Numéro d'échantillon: MM39

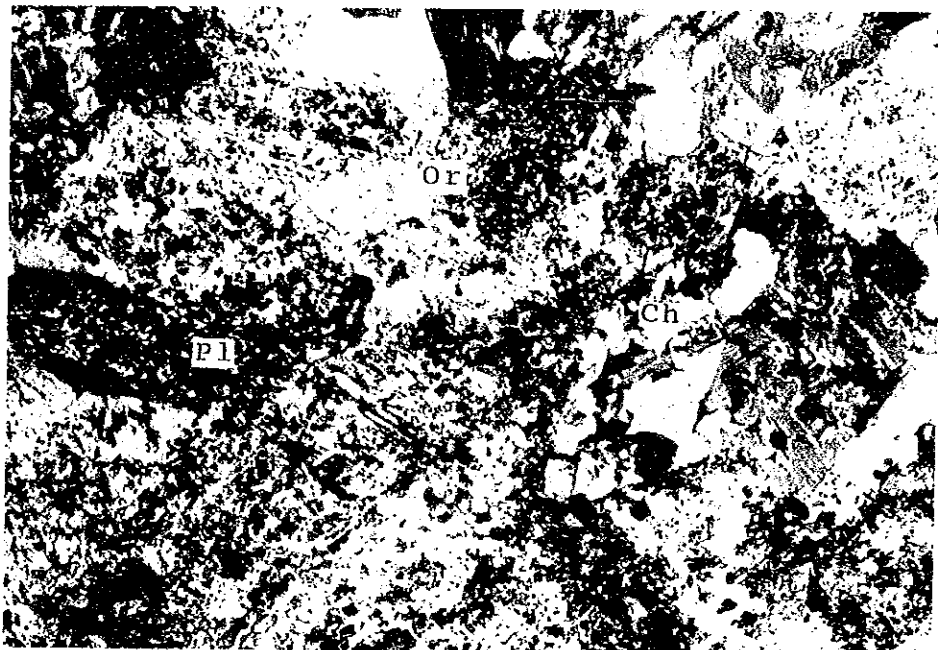
Nomenclature : Tonalite à hornblende





Nicol ouvert

0 0.4mm



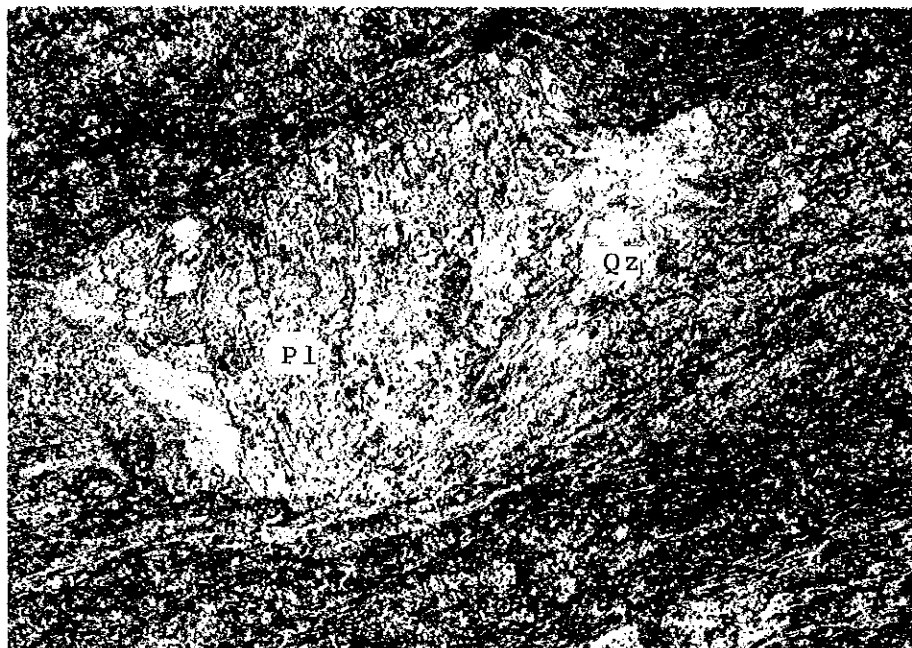
Nicol croiseur

0 0.4mm

Numéro d'échantillon: WW29B

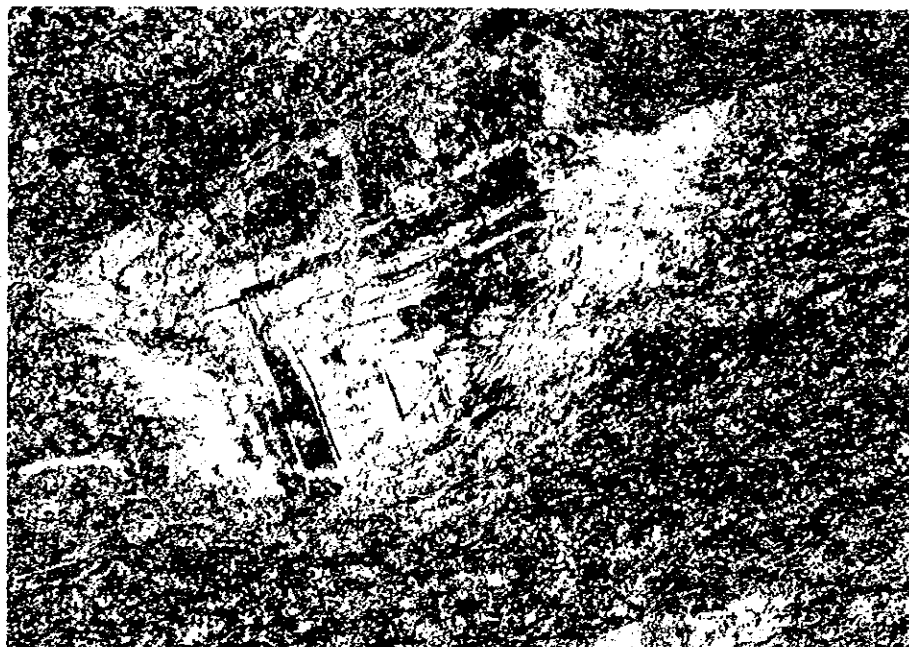
Nomenclature : Tonalite à hornblende





Nicol ouvert

0 0,4mm



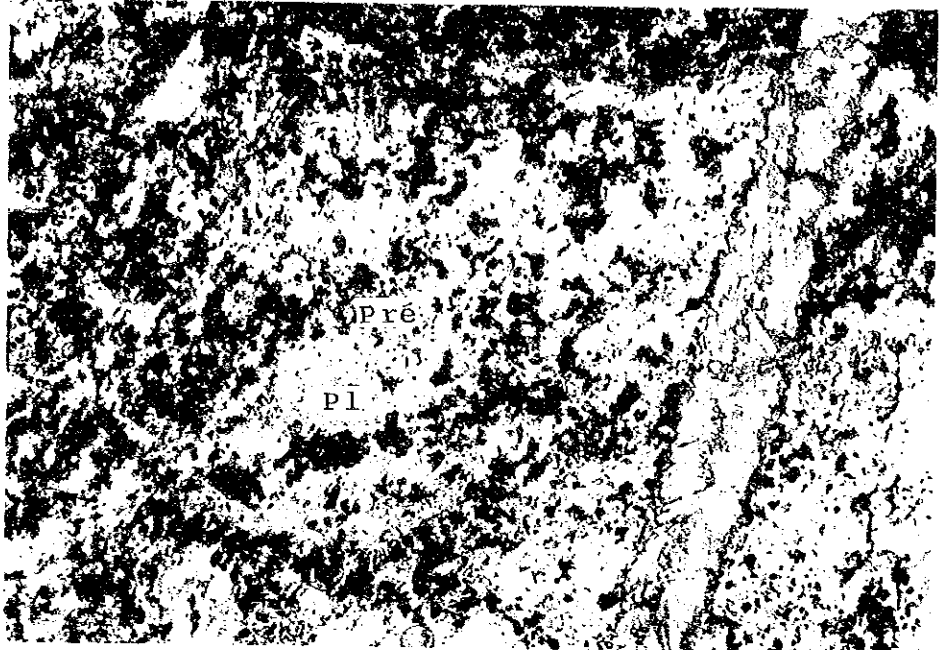
Nicol croiseur

0 0,4mm

Numéro d'échantillon:SSBT-1  
Nomenclature :Schiste vert







Nicol ouvert

0 0.4mm



Nicol croiseur

0 0.4mm

Numéro d'échantillon:SSBT-3

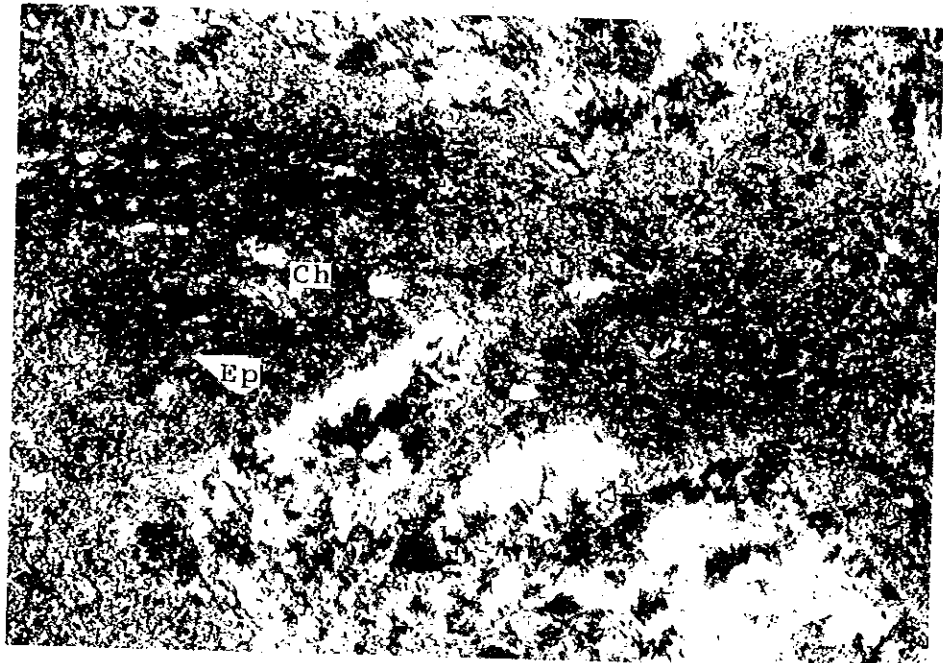
Nomenclature :La roche basique





Nicol ouvert

0 0.4mm

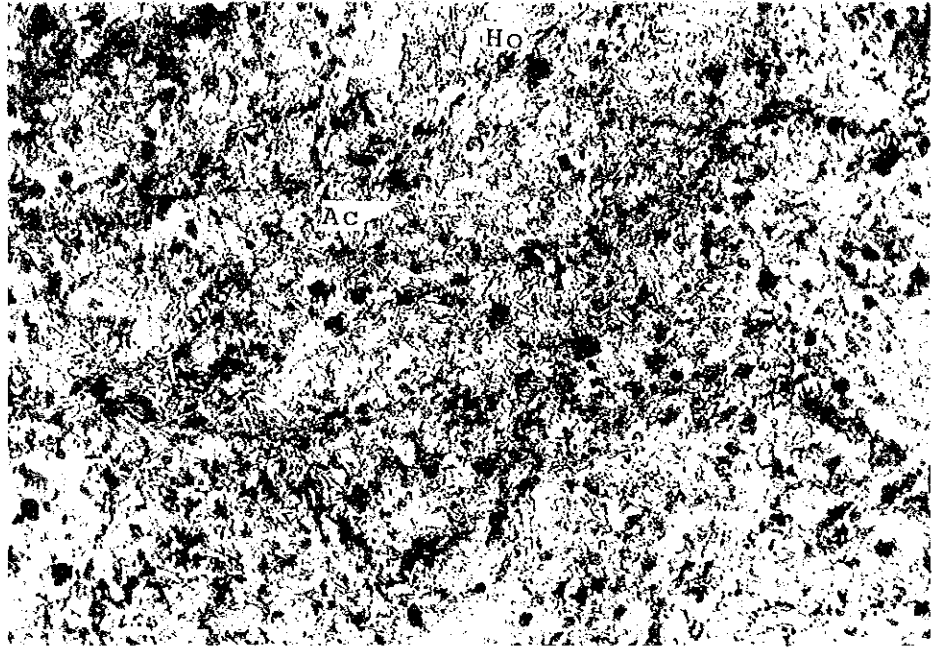


Nicol croiseur

0 0.4mm

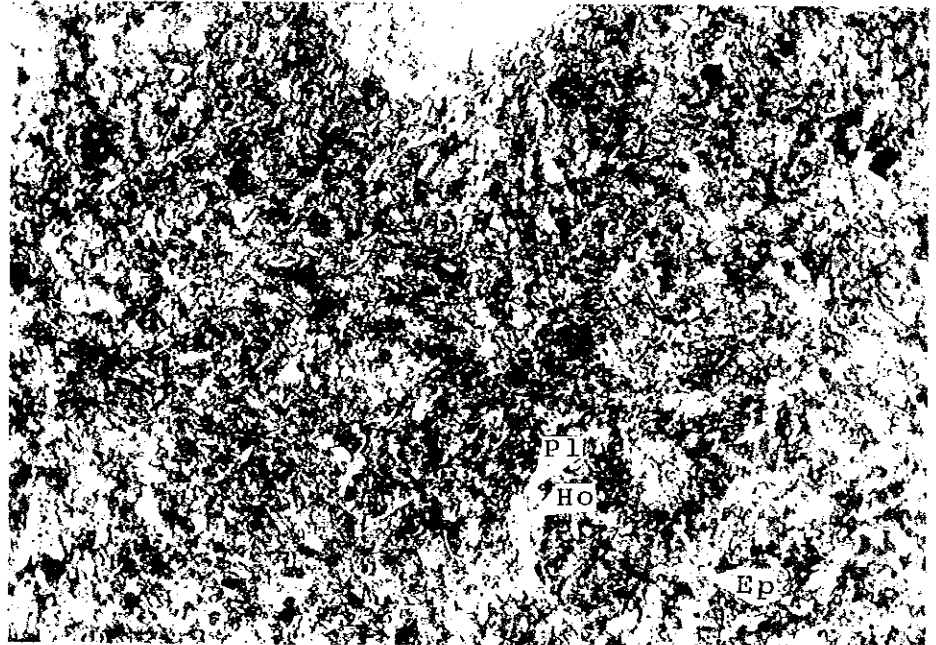
Numéro d'échantillon: SSBT-5  
Nomenclature : Rhyolite





Nicol ouvert

0 0.2mm



Nicol croiseur

0 0.2mm

Numéro d'échantillon: SSBT-7  
Nomenclature : Métabasalte

10/10







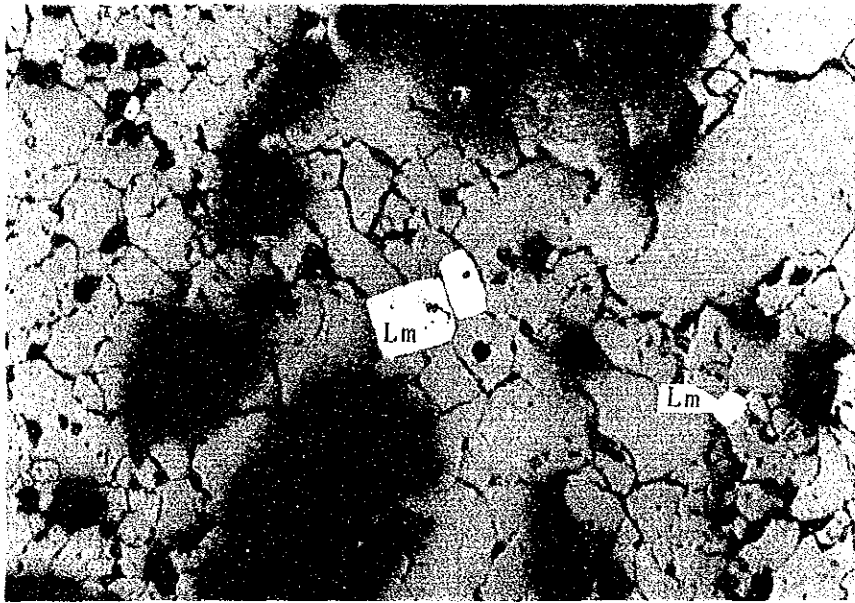


## Apc.4 Microphotographie des sections polies

### Abréviation

Or : Or natif	Lm : Limonite
Po : Pyrrhotine	Cp : Chalcopyrite
As : Arsenopyrite	Ga : Galene
Py : Pyrite	

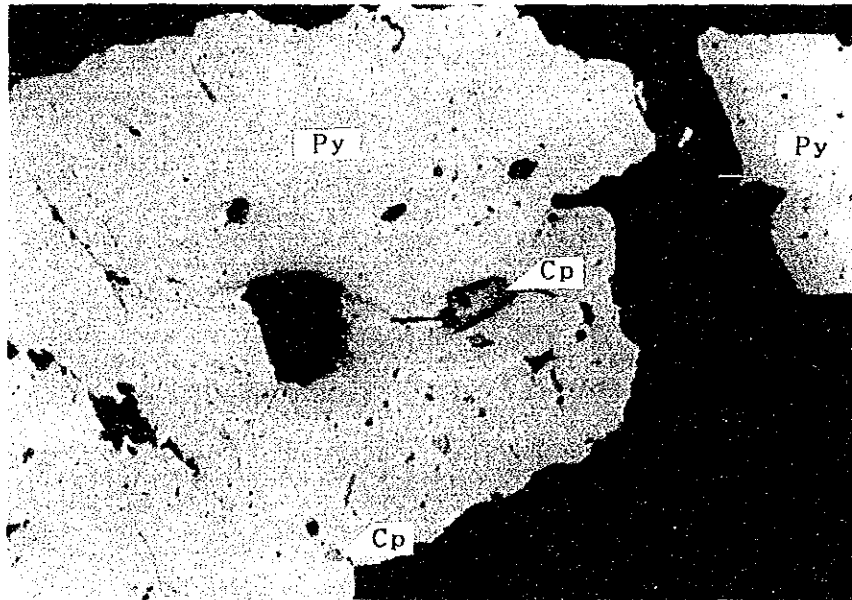




Nicol ouvert

N<sup>o</sup> d'échantillon: XX27-1-9 0 0.2mm  
 Localité : N13° 44' 13" E1° 37' 14"  
 Type de minerais: Le filon de quartz d'or  
 Remarque : Lm

Le secteur Namaro



Nicol ouvert

N<sup>o</sup> d'échantillon: XX27-28-1 0 0.2mm  
 Localité : N13° 44' 12" E1° 37' 11"  
 Type de minerais: Le filon de quartz d'or  
 Remarque : Py>Cp

Le secteur Namaro

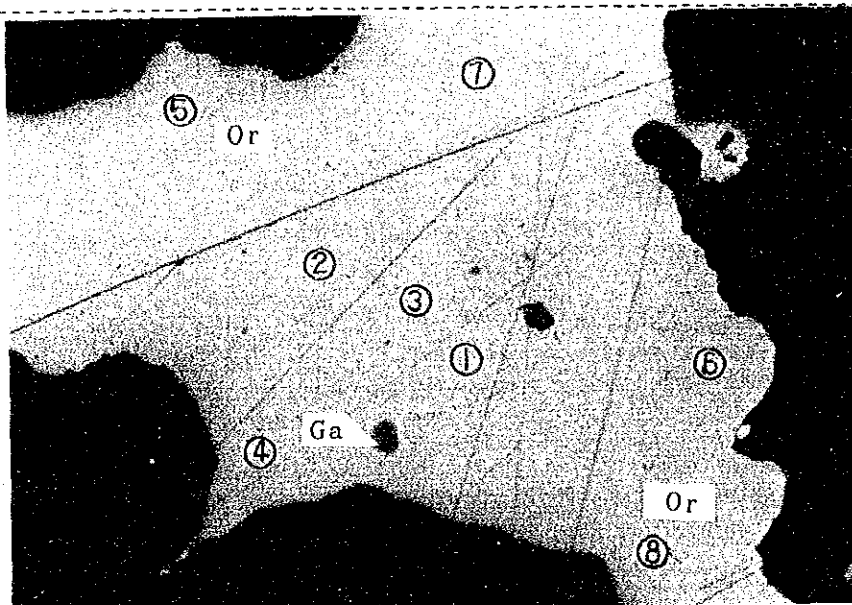




Nicol ouvert

N<sup>o</sup> d'échantillon: R12-4  
 Localité : N13° 36' 42" E1° 33' 13"  
 Type de minerais: Le filon de quartz d'or  
 Remarque : Py > Lm

Le secteur Namaro

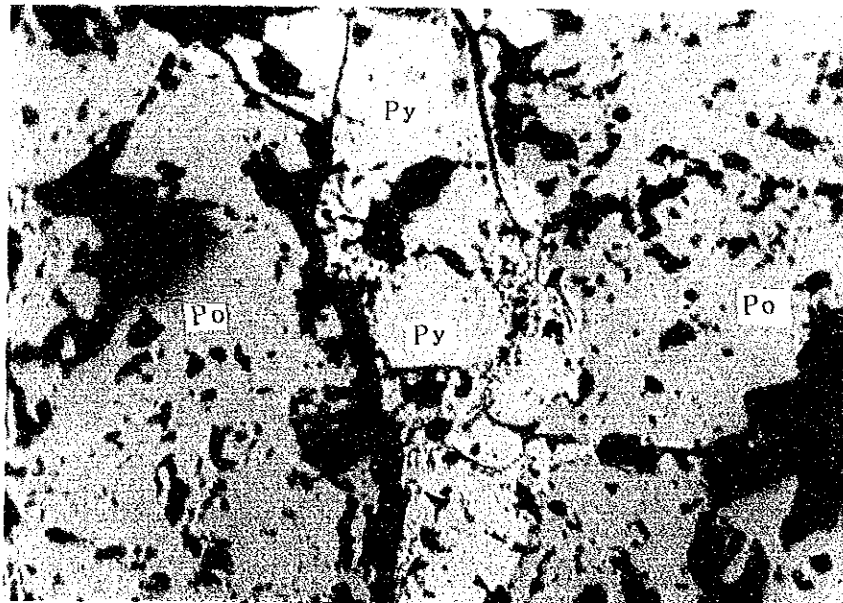


Nicol ouvert

0 0.2mm ③: Points pour l'analyse par microsonde électronique  
 N<sup>o</sup> d'échantillon: R12-5  
 Localité : N13° 36' 42" E1° 33' 13"  
 Type de minerais: Le filon de quartz d'or  
 Remarque : Or >> Ga

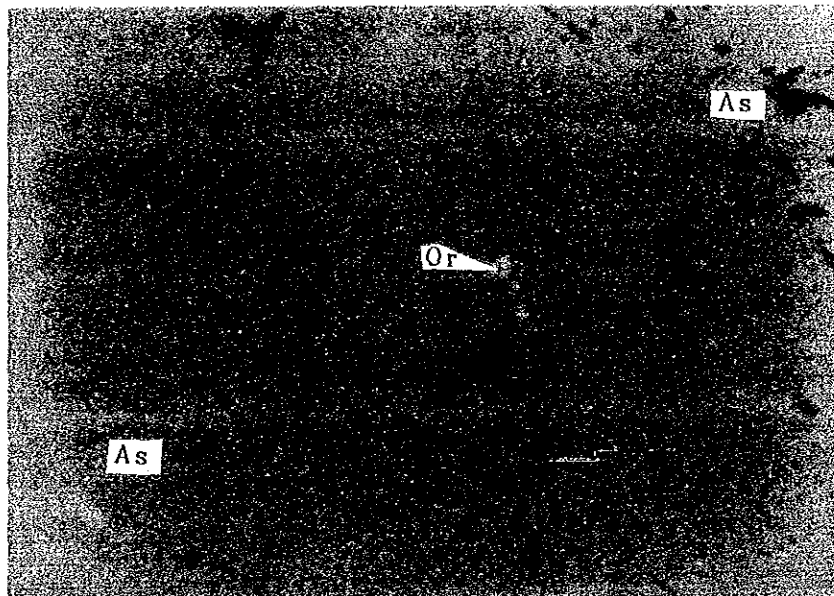
Le secteur Namaro





Nicol ouvert

N<sup>o</sup> d'échantillon:SSBP-3 0 0.1mm  
 Localité :MJNS-5 , 61.00m  
 Type de mineraais:Le filon de quartz d'or  
 Remarque :Po,Py>Cp  
 Le secteure Séfa Nangue

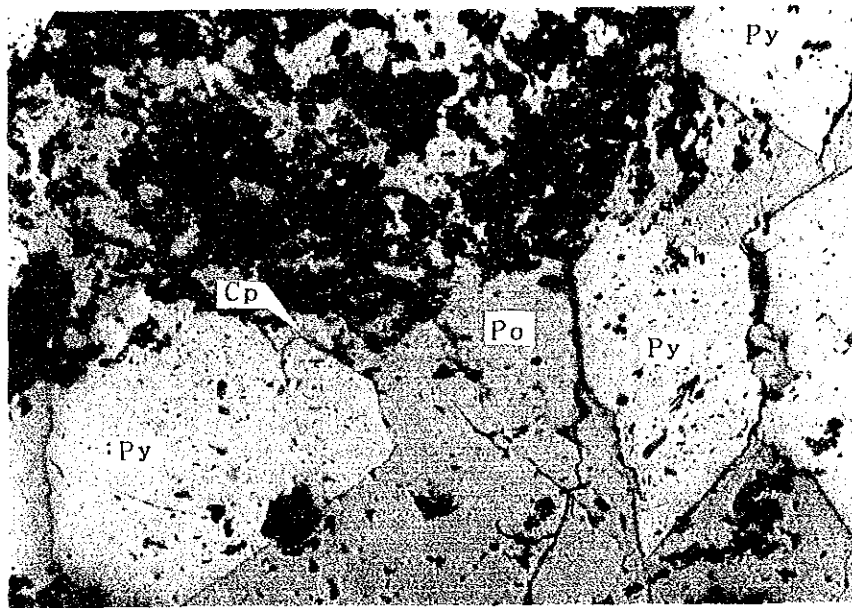


Nicol ouvert

N<sup>o</sup> d'échantillon:SSBP-4 0 0.02mm  
 Localité :MJNS-6 , 57.80m  
 Type de mineraais:Le filon de quartz d'or  
 Remarque :As,Py>>Or  
 Le secteure Séfa Nangue



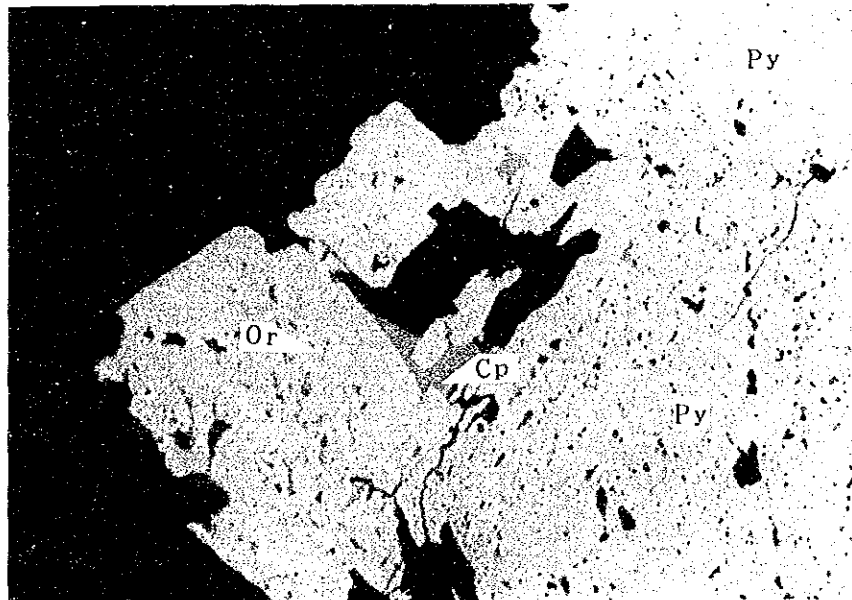




Nicol ouvert

N<sup>o</sup> d'échantillon:SSBP-5 0 0.4mm  
 Localité :MJNS-9 , 95.60m  
 Type de minerais:Le filon de quartz d'or  
 Remarque :Po>Py>>Cp

Le secteur Séfa Nangue



Nicol ouvert

N<sup>o</sup> d'échantillon:SSBP-6 0 0.1mm  
 Localité :MJNS-9 , 111.00m  
 Type de minerais:Le filon de quartz d'or  
 Remarque :As,Py>>Cp>>Or

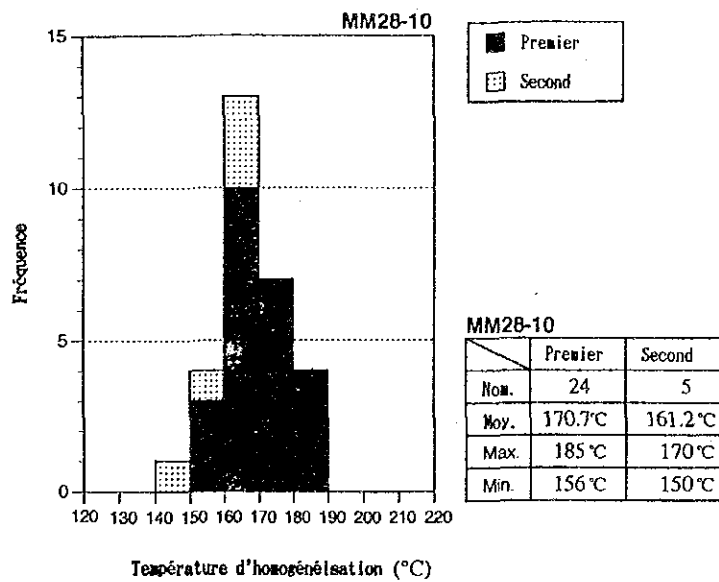
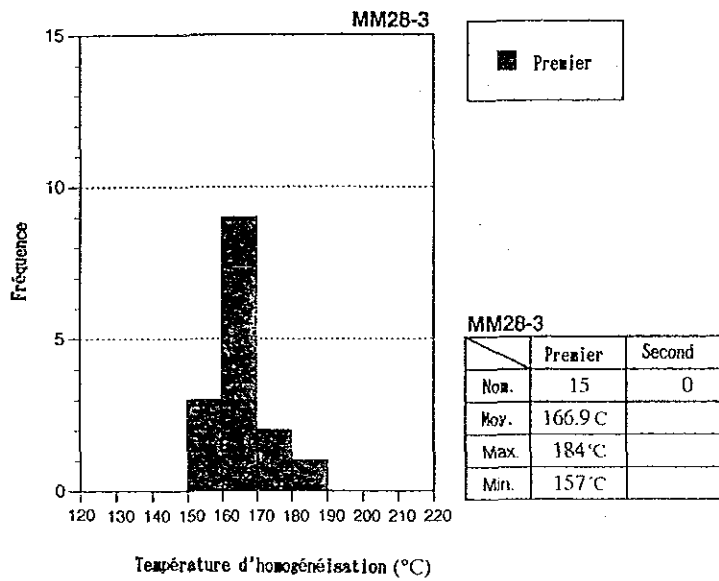
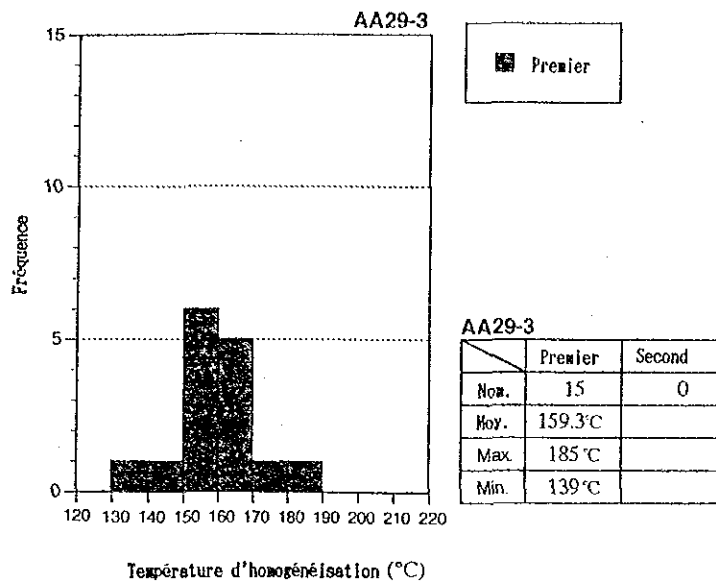
Le secteur Séfa Nangue



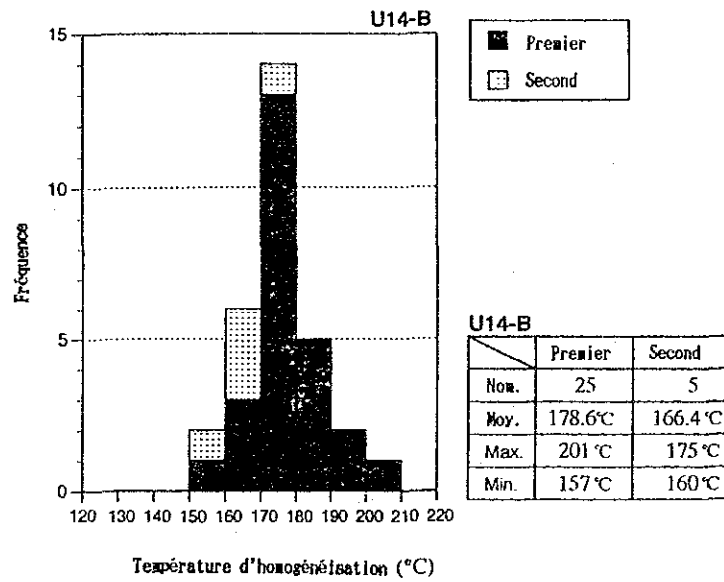
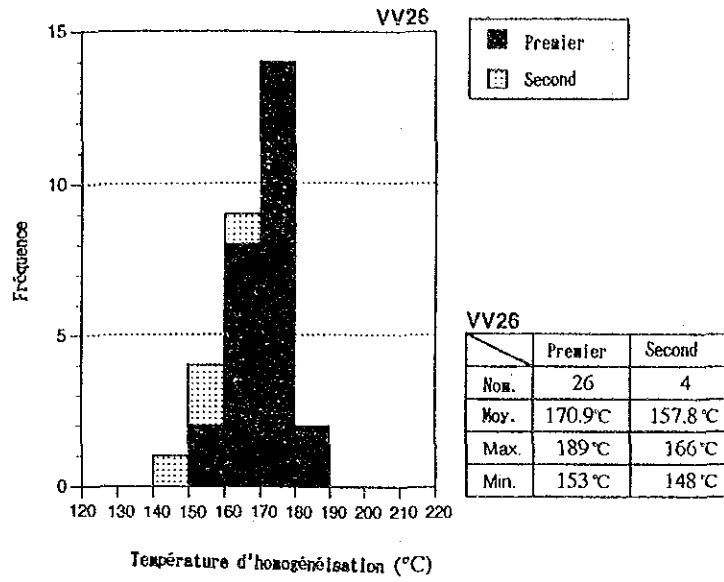
Apc.5 Résultat d'analyse des roches dans le secteur NAMARO

		I124	LL33	MM39	NC29	NL31	NZ41	WX4-1	BB32B	I131B	WW29B
SiO2	wt%	56.29	55.30	57.47	49.60	50.85	49.89	52.11	61.63	52.79	61.59
TiO2		0.53	0.60	0.68	0.65	0.66	0.72	1.77	0.57	0.57	0.52
Al2O3		12.64	13.05	18.32	14.13	14.02	13.31	30.08	13.77	12.40	14.73
Fe2O3		3.09	3.17	2.81	2.45	3.69	2.16	2.44	2.37	2.26	2.34
FeO		6.20	6.74	4.32	7.83	4.91	8.77	0.25	4.62	8.47	3.96
MnO		0.16	0.16	0.12	0.18	0.21	0.18	0.00	0.16	0.19	0.11
MgO		6.41	5.71	2.76	8.06	7.01	8.72	0.11	3.99	7.36	3.60
BaO		0.02	0.01	0.03	0.01	0.00	0.00	0.01	0.06	0.02	0.05
CaO		8.42	9.00	7.31	10.77	14.01	11.56	0.12	5.75	9.27	5.91
Na2O		2.12	2.55	3.97	2.36	1.31	1.43	0.03	2.94	2.09	3.36
K2O		0.41	0.28	0.61	0.11	0.05	0.07	0.02	2.20	0.31	1.36
P2O5		0.11	0.11	0.22	0.04	0.04	0.04	0.08	0.23	0.15	0.25
LOI		2.16	1.94	1.76	1.75	1.44	0.71	12.15	1.56	1.87	1.88
TOTAL		98.56	98.62	100.38	97.93	98.21	97.57	99.17	99.85	97.75	99.66
Nb	ppm	5	6	10	5	4	4	31	8	5	7
Rb		16	16	22	6	11	17	<5	55	8	37
Sr		300	160	580	100	140	100	120	320	240	420
Y		<2	<2	5	<2	7	<2	<2	<2	<2	<2
Zr		64	57	157	44	46	47	366	107	44	102
Qz	wt%	15.07	12.22	11.69	0.69	8.27	3.43	51.66	17.76	7.70	18.78
C		-	-	-	-	-	-	29.98	-	-	-
Or		2.42	1.65	3.60	0.65	0.30	0.41	0.12	13.00	1.83	8.04
Ab		17.94	21.58	33.59	19.97	11.08	12.10	0.25	24.88	17.68	28.43
An		23.76	23.33	30.37	27.64	32.23	29.69	0.08	17.88	23.54	21.09
Di		14.05	16.72	3.66	20.71	30.01	22.21	-	7.51	17.44	5.42
Hy		17.42	14.90	9.62	21.46	8.83	24.05	0.30	12.06	22.37	11.02
Mt		4.48	4.60	4.07	3.55	5.35	3.14	-	3.43	3.27	3.39
Hm		-	-	-	-	-	-	2.44	-	-	-
Il		1.01	1.14	1.29	1.23	1.25	1.37	0.53	1.08	1.08	0.99
Ru		-	-	-	-	-	-	1.49	-	-	-
Ap		0.25	0.25	0.51	0.09	0.09	0.09	0.19	0.53	0.35	0.58
TOTAL		96.40	96.40	98.41	95.99	97.93	96.49	87.04	98.13	95.26	97.75

Apc.6 Résultat de mesure de la température d'homogénéisation (AA29-3, MM28-3 et MM28-10)



Apc.7 Résultat de mesure de la température d'homogénéisation (VV26 et U14-B)



Apc.8 Résultat d'analyse en or par microsonde électronique  
(EPMA) Echantillon R12-5

Point	1	2	3	4	5	6	7	8	Moyen	Deviation
AuMa(cps)	7011.6	6965.2	7046.4	6988.7	7004.5	6993.3	6985.7	6961.6	6994.6	25.3
AgLa(cps)	1952.1	1891.7	1930.7	1960.2	1974.6	1978.6	1965.3	1950.7	1950.5	26.3
Au poid%	74.83	74.33	75.25	74.72	74.91	74.78	74.71	74.45	74.75	0.26
Ag poid%	22.97	22.31	22.77	23.10	23.26	23.30	23.16	22.99	22.98	0.30
Au poid%	75.61	76.92	76.77	76.39	76.31	76.24	76.34	76.40	76.49	0.22
Ag poid%	23.49	23.08	23.23	23.61	23.69	23.76	23.66	23.60	23.51	0.22
Au %	64.08	64.60	64.42	63.92	63.82	63.74	63.86	63.94	63.92	0.29
Ag %	35.92	35.40	35.58	36.08	36.18	36.26	36.14	36.06	35.88	0.28

ApC.9 Analyse par la diffraction des Rayons X

N°	N° d'échantillon	Localité		Paragénèse des minéraux																		
		Longitude	Latitude	Mon	S/M	Ch	Sc	KI	Qz	Pl	Ab	Ep	Ru	Ana	Ca	Ak	Sd	Py	Hm	Go	Gb	
1	AA29 - 1	N13° 39'58.1"	E1° 32'22.5"				⊙	•	⊙												•	
2	AA29 - 4	N13° 39'58.1"	E1° 32'22.5"				○	•	⊙												•	
3	AA29 - 8	N13° 39'58.1"	E1° 32'22.5"				⊙	•	⊙												•	
4	MM28-2	N13° 42'16.4"	E1° 34'55.4"				○		⊙												•	
5	MM28-6	N13° 42'16.4"	E1° 34'55.4"				○		⊙												•	
6	MM28-7	N13° 42'16.4"	E1° 34'55.4"			•	•	•	⊙	•											•	
7	NB11 - 3	N13° 42'3.0"	E1° 41'15.0"				•		⊙													
8	NB11 - 4	N13° 42'3.0"	E1° 41'15.0"	•	•			•	⊙													•
9	U 14 - C	N13° 37'6.5"	E1° 34'43.2"				○	○	⊙			×									•	
10	U 14 - F	N13° 37'6.5"	E1° 34'43.2"				•	•	⊙				×								•	
		N° de sondage	Profondeur(m)																			
11	SSBX- 1	MJNS- 1	828.0			○	•		⊙												•	
12	SSBX- 2	MJNS- 2	115.10			○	○		⊙												•	
13	SSBX- 3	MJNS- 3	114.85			×			⊙												•	
14	SSBX- 4	MJNS- 4	86.90				•		⊙												•	
15	SSBX- 5	MJNS- 5	81.60				•		⊙												•	
16	SSBX- 6	MJNS- 6	131.70						⊙												•	
17	SSBX- 7	MJNS- 6	135.55			⊙	×		⊙												•	
18	SSBX- 8	MJNS-14	111.70			•			⊙													
19	SSBX- 9	MJNS-15	63.90			⊙	•		⊙												•	
20	SSBX-10	MJNS-18	134.30			•			⊙												•	

Abbréviation Mon : Montmorillonite S/M : Séricite-montmorillonite lamelle mêlée Ch : Chlorite Sc : Séricite Qz : Quartz Pl : Plagioclase  
 Ab : Albite Ep : Epidote Ana : Anatase Ca : Calcite Ana : Ankerite Ak : Ankerite Sd : Sidérite  
 Py : Pyrite Hm : Hématite Ru : Rutile Go : Goéthite Gb : Gibbsite Ⓞ : moyen • : faible × : rare

Apc.10 Tableau d'analyse de détermination d'âge (Rb/Sr)

**Isochron #II31:**

Sample #	T.I.#	Sr ppm	Rb ppm	$^{87}\text{Rb}/^{86}\text{Sr}$	$^{87}\text{Sr}/^{86}\text{Sr}$
A	92-358	453	2.32	.0148	.70201±.00030
B	92-359	292	8.52	.084	.70405±.00012
C	92-360	487	28.2	.167	.70840±.00017

Best slope = 0.04283 ± .00656  
 $^{87}\text{Sr}/^{86}\text{Sr}(i)$  = 0.70103 ± .00071  
 Age = 2953 ± 443 M.Y.

**Isochron #BB32:**

Sample #	T.I.#	Sr ppm	Rb ppm	$^{87}\text{Rb}/^{86}\text{Sr}$	$^{87}\text{Sr}/^{86}\text{Sr}$
A	92-361	421	42.4	.292	.71159±.00014
B	92-362	460	40.7	.256	.70991±.00029
C	92-363	347	44.6	.372	.71280±.00026

Best slope = 0.02444 ± .00753  
 $^{87}\text{Sr}/^{86}\text{Sr}(i)$  = 0.70394 ± .00234  
 Age = 1701 ± 517 M.Y.

**Isochron #WW29:**

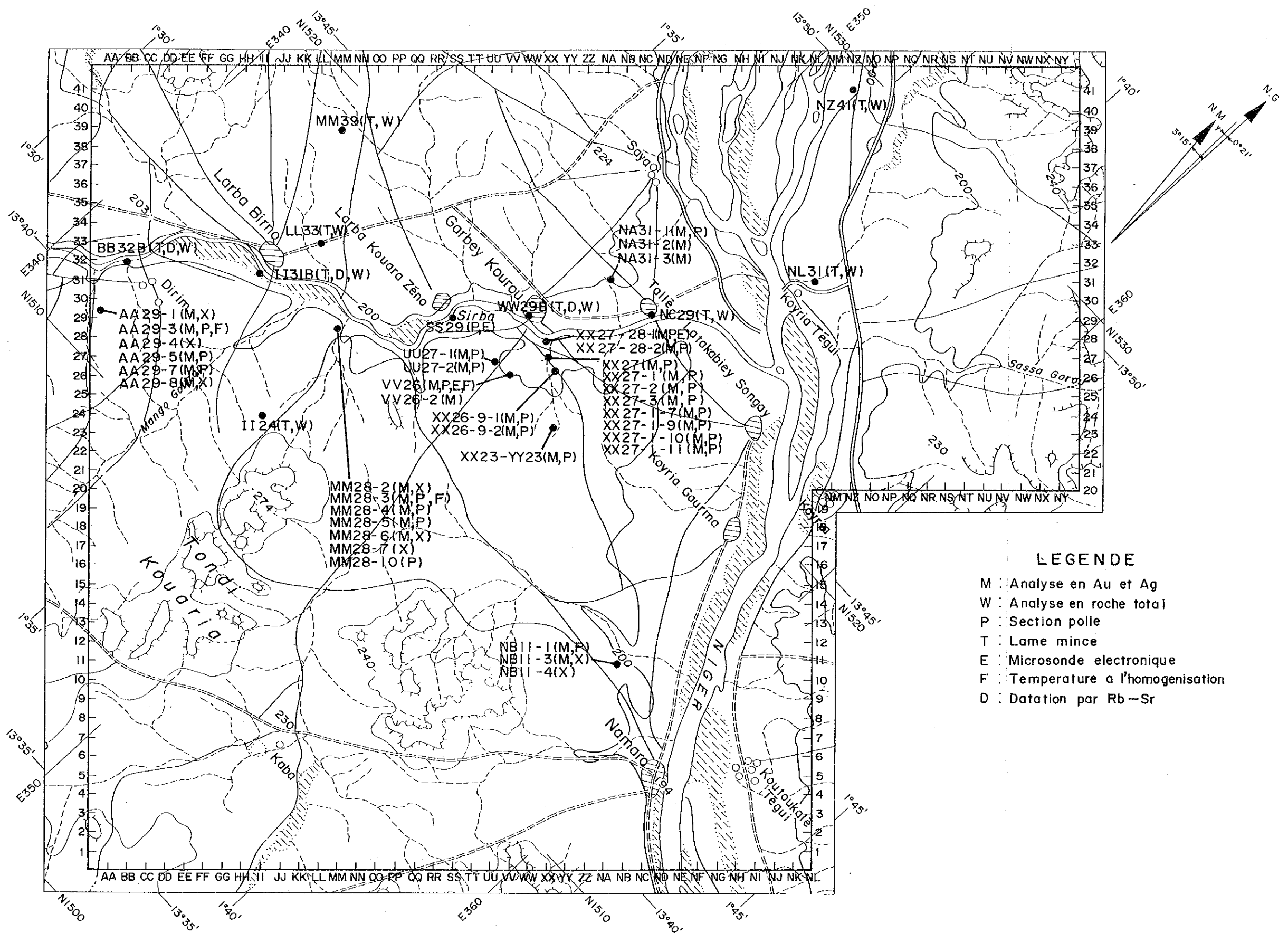
Sample #	T.I.#	Sr ppm	Rb ppm	$^{87}\text{Rb}/^{86}\text{Sr}$	$^{87}\text{Sr}/^{86}\text{Sr}$
A	92-355	351	39.5	.325	.71156±.00021
B	92-356	494	28.4	.166	.70740±.00019
C	92-357	482	44.3	.265	.71048±.00010

Best slope = 0.02688 ± .00349  
 $^{87}\text{Sr}/^{86}\text{Sr}(i)$  = 0.70304 ± .00091  
 Age = 1868 ± 239 M.Y.



Apc.11-19 Résultat d'étude géochimique  
(La partie d'étude Stratégique)



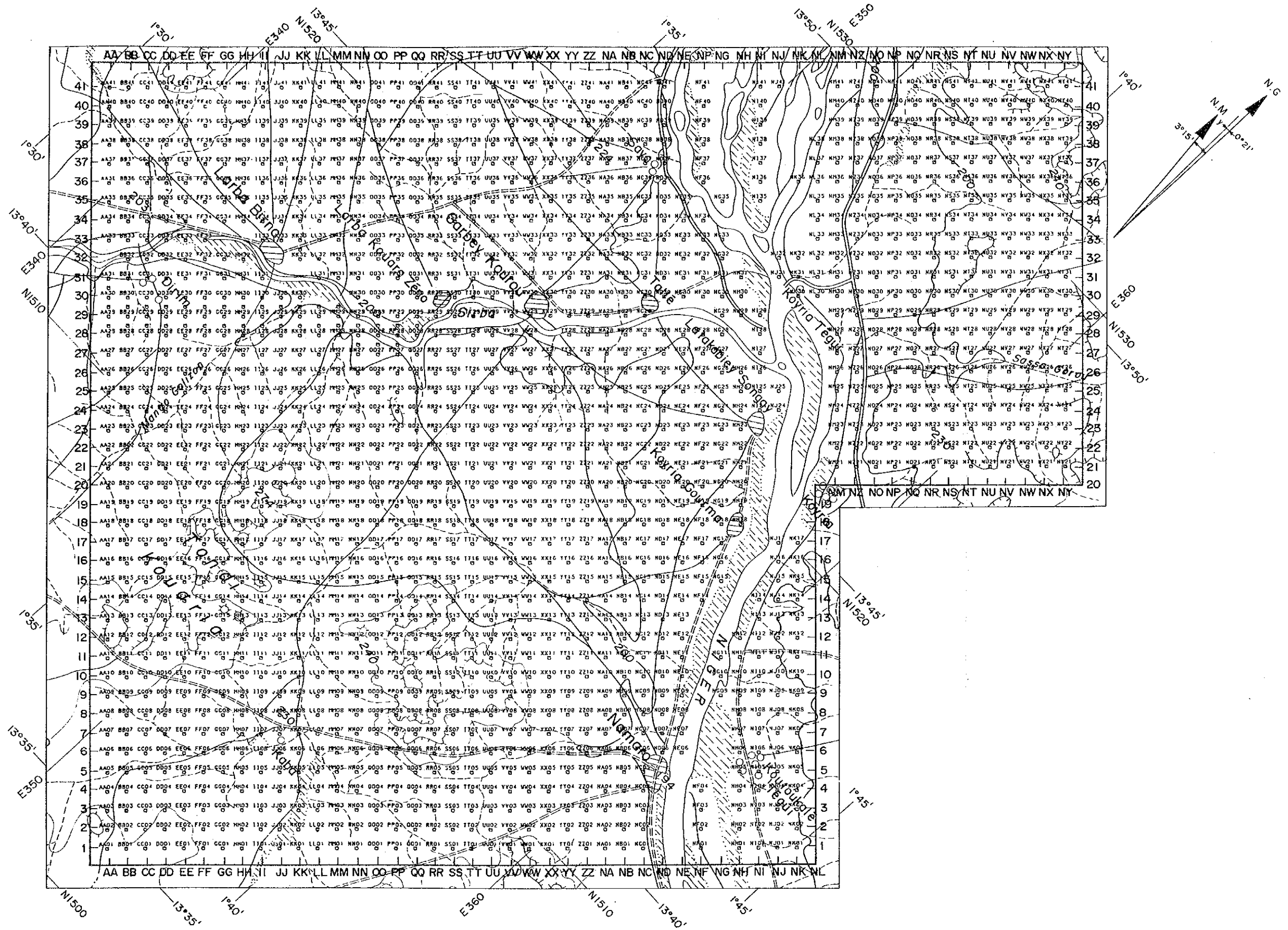


- LEGENDE**
- M : Analyse en Au et Ag
  - W : Analyse en roche total
  - P : Section polie
  - T : Lame mince
  - E : Microsonde electronique
  - F : Temperature a l'homogenisation
  - D : Datation par Rb-Sr

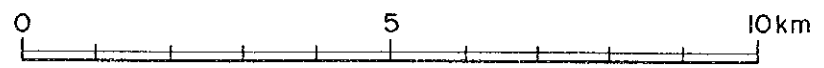
Echelle 1 : 100,000

0 5 10km

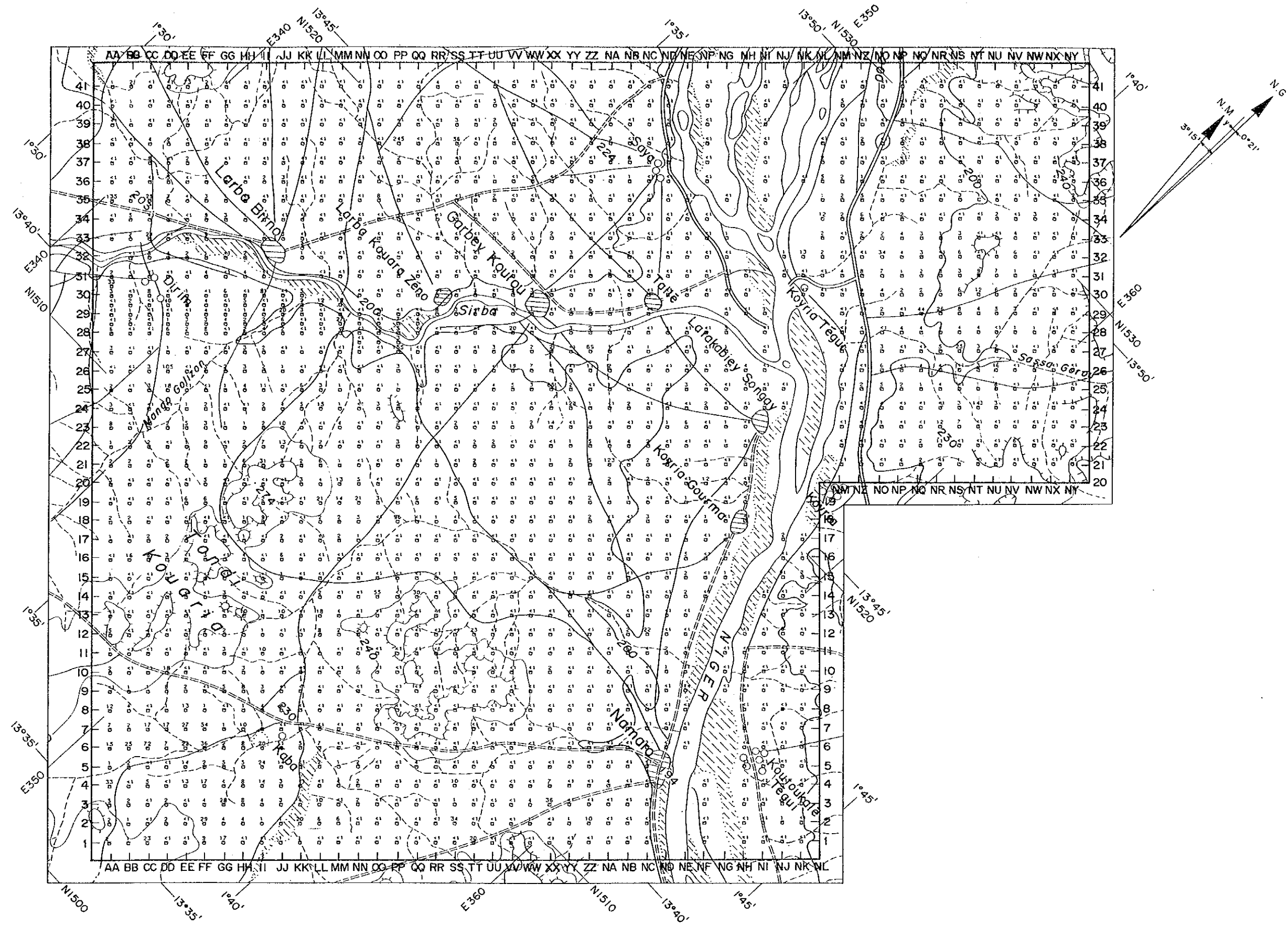
Apc.11 Points de prélèvement des échantillons des roches  
(La partie d'étude stratégique)



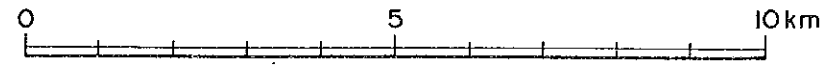
Echelle 1 : 100,000



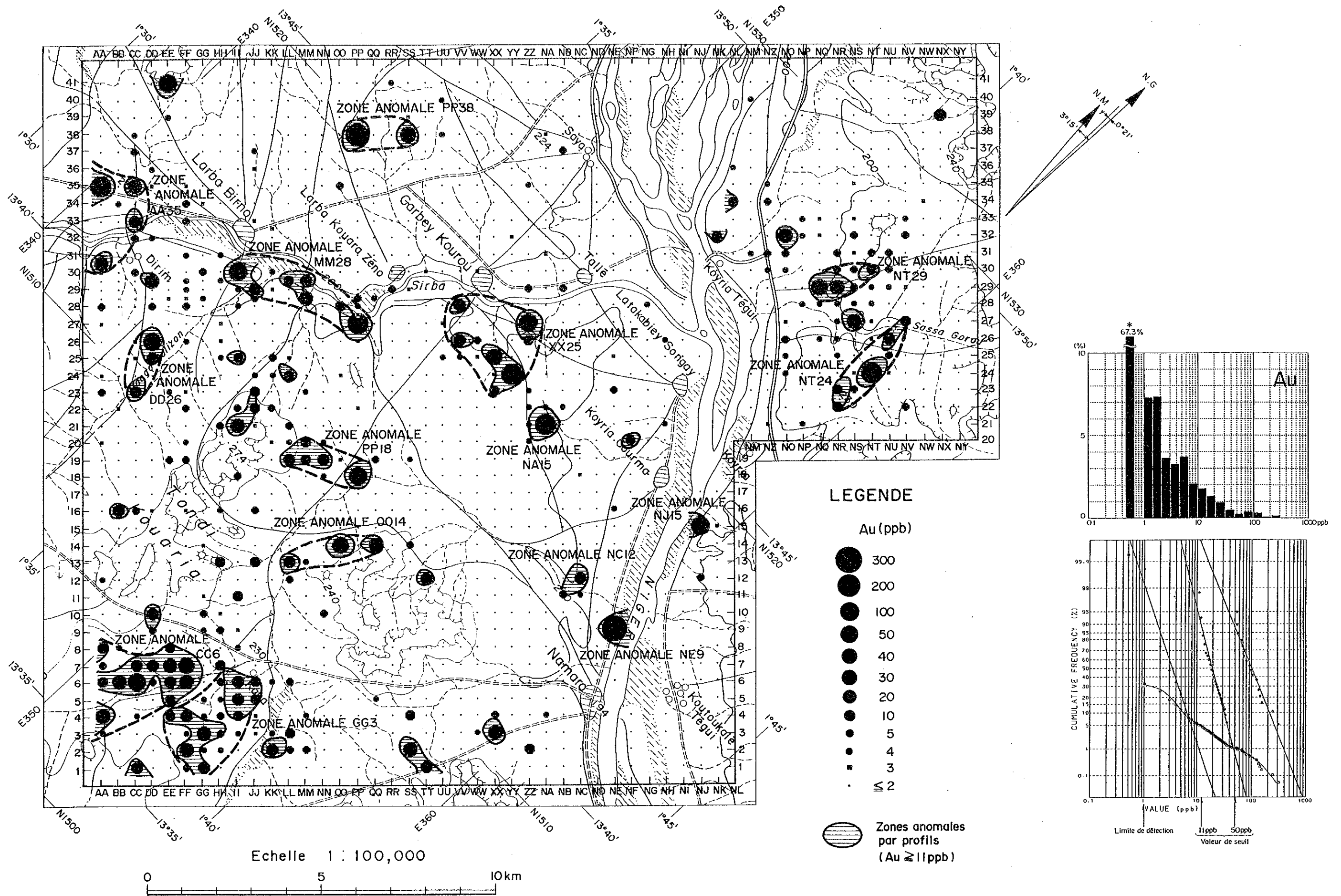
Apc.12 Points de Prélèvement des échantillons pour l'étude géochimique (La partie d'étude stratégique)



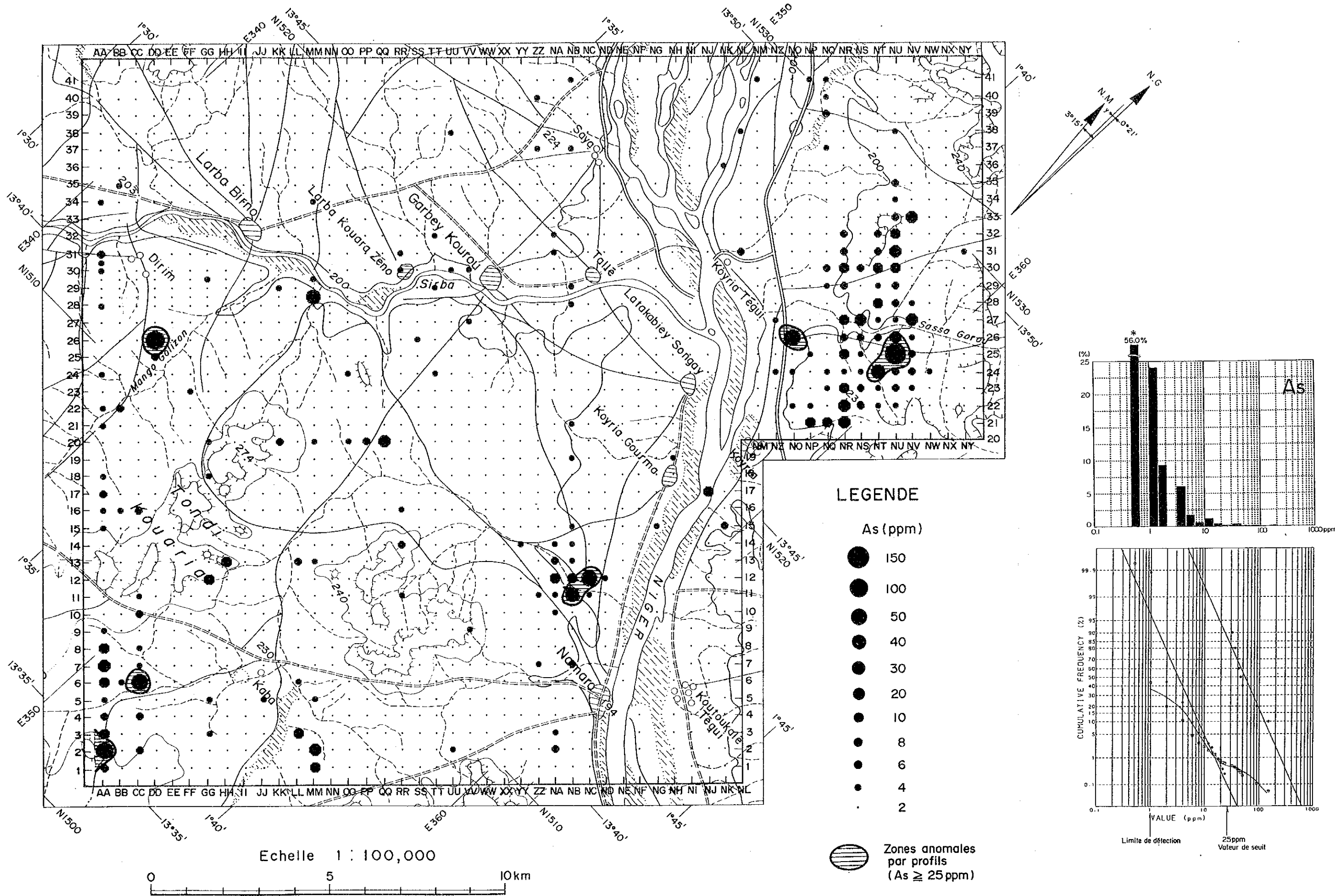
Echelle 1 : 100,000



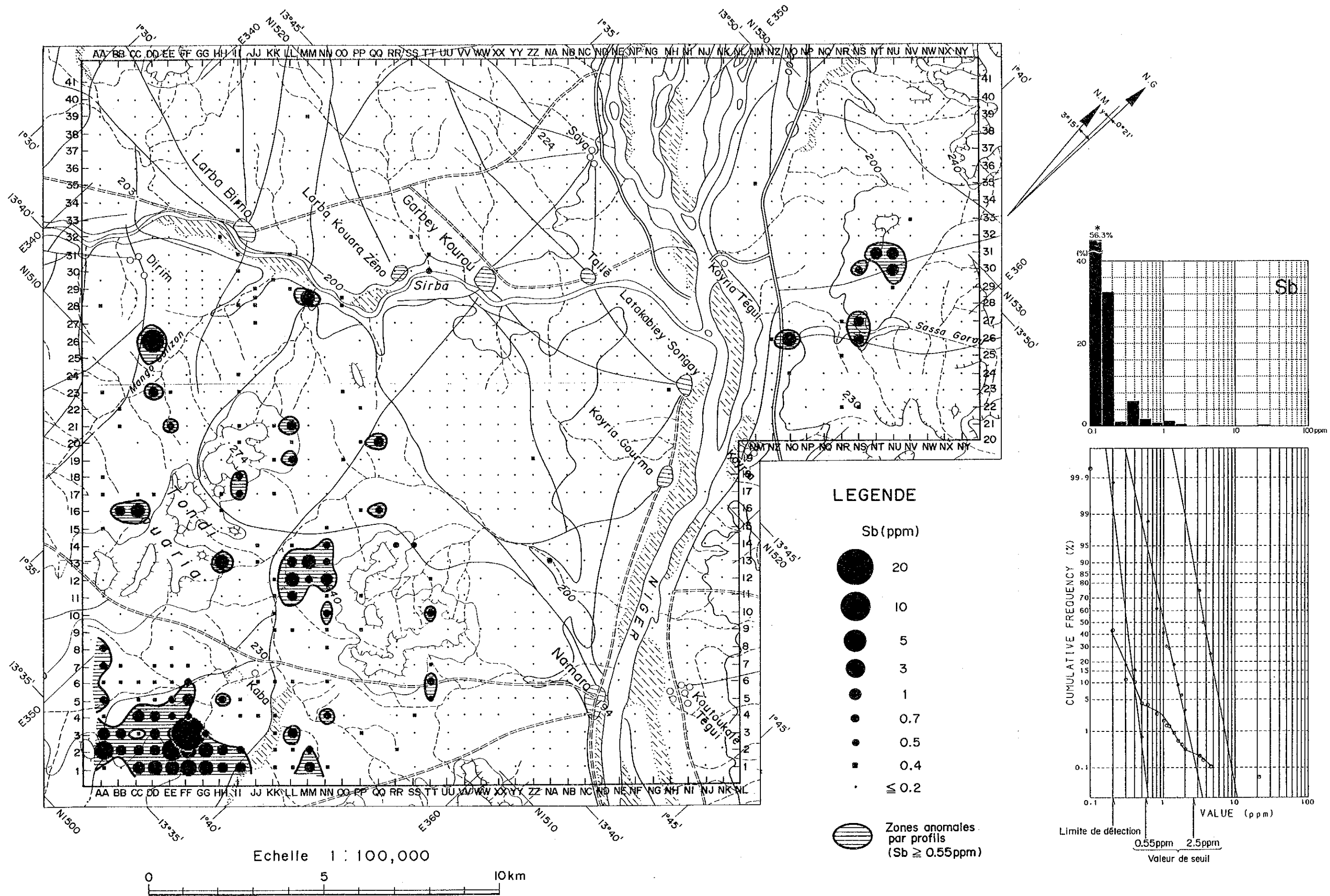
Apç.13 Points d'échantillonnage géochimique et teneurs en Au(La partie d'étude stratégique)



Apc.14 Carte des teneurs en Au  
(La partie d'étude stratégique)

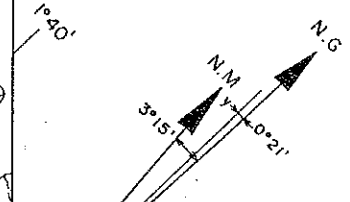
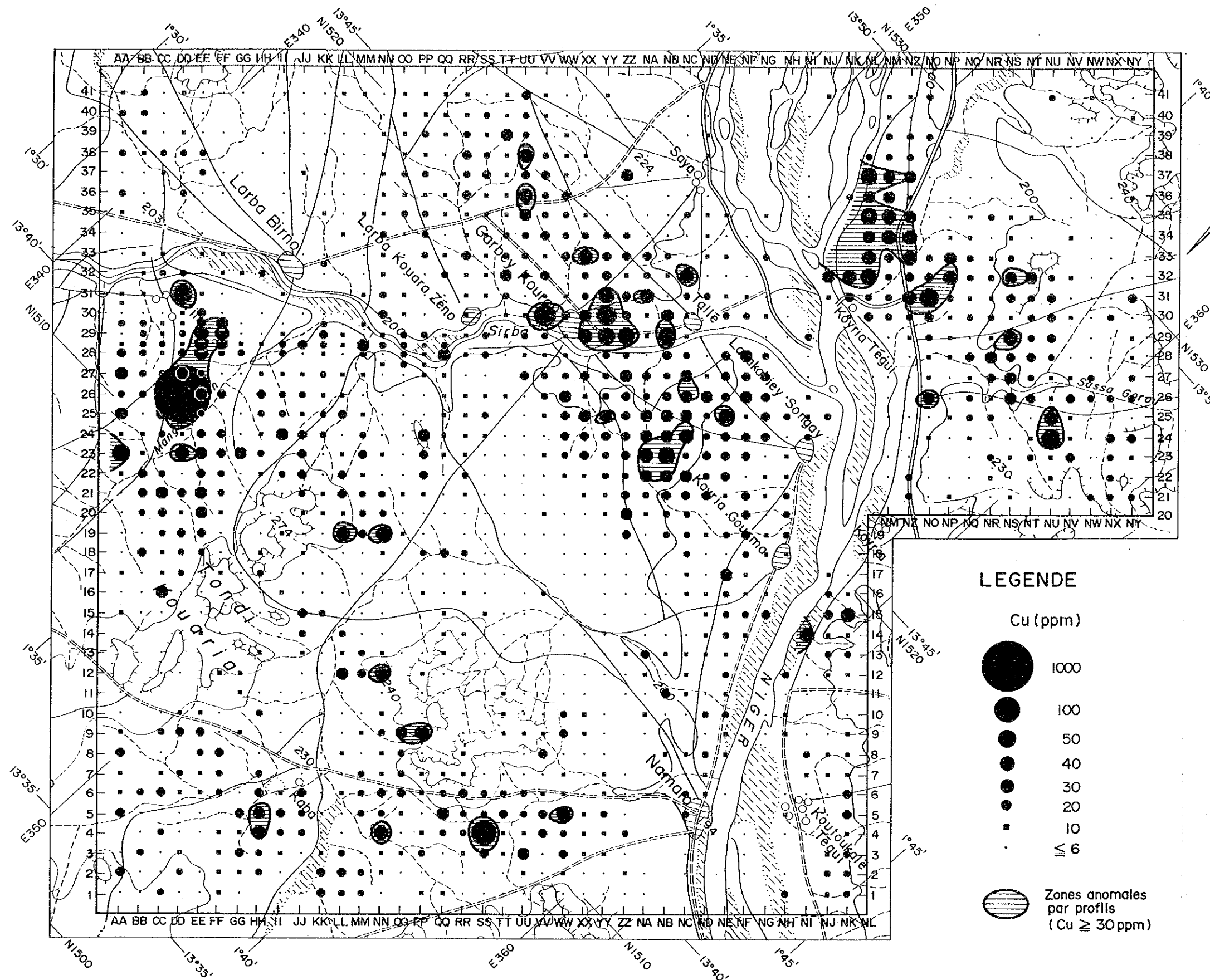


Apc.15 Carte des teneurs en As  
(La partie d'étude stratégique)



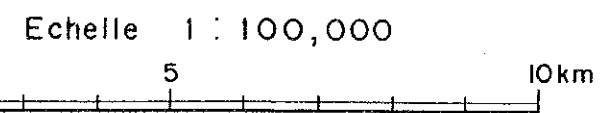
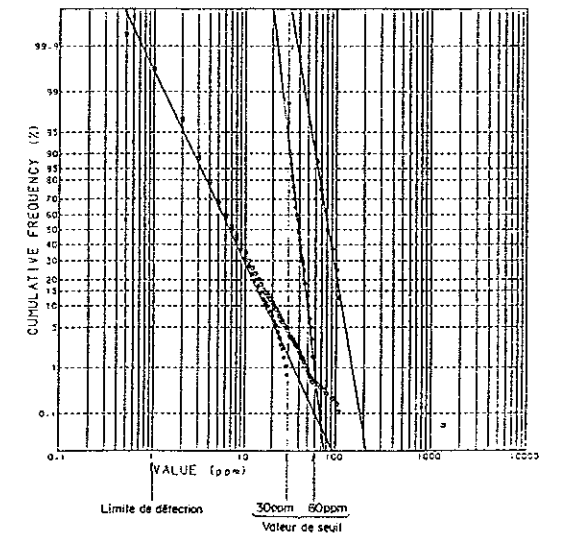
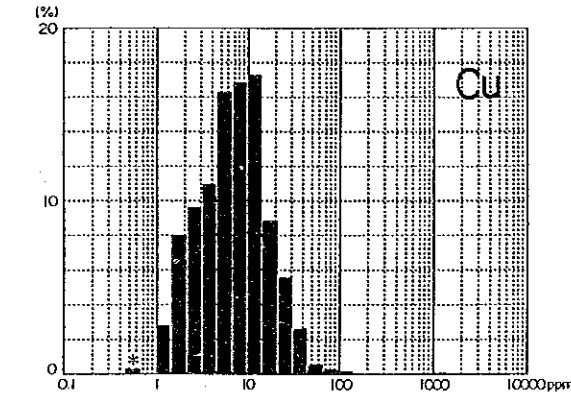
Apc.16 Carte des teneurs en Sb  
(La partie d'étude stratégique)



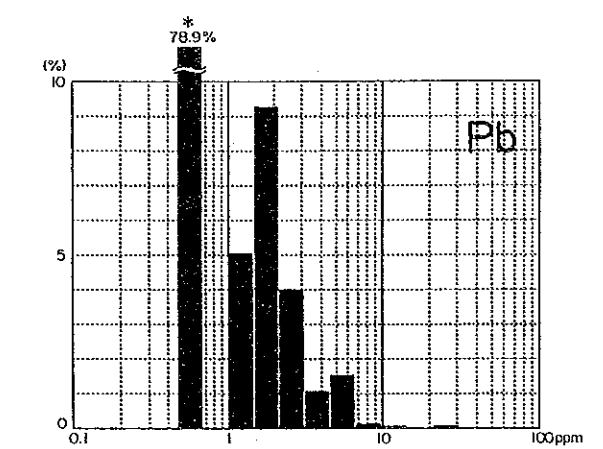
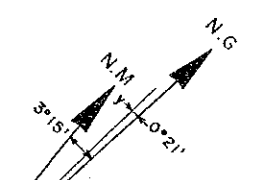
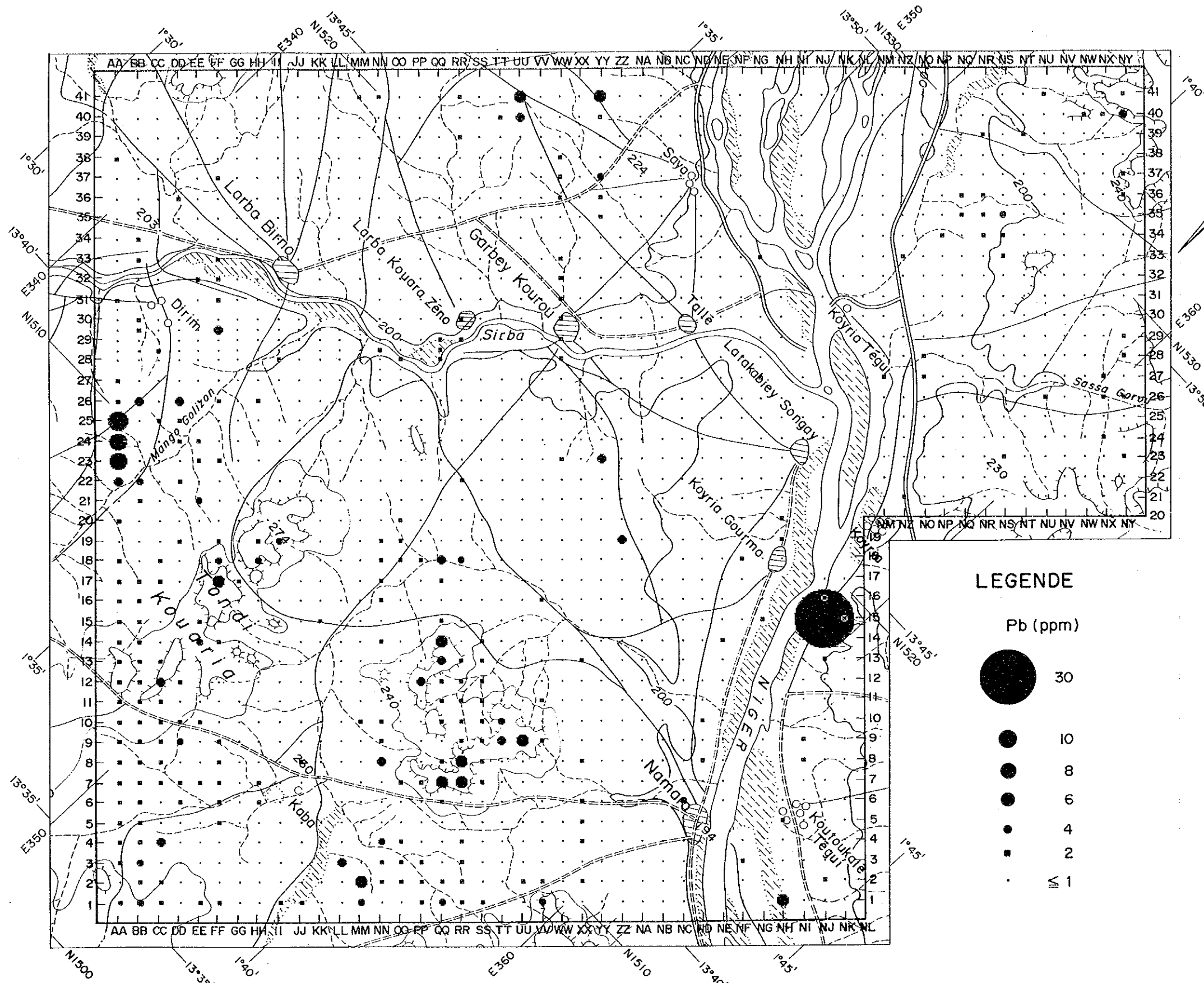


**LEGENDE**

- Cu (ppm)
- 1000
  - 100
  - 50
  - 40
  - 30
  - 20
  - 10
  - ≤ 6
- ▨ Zones anormales par profils (Cu ≥ 30 ppm)

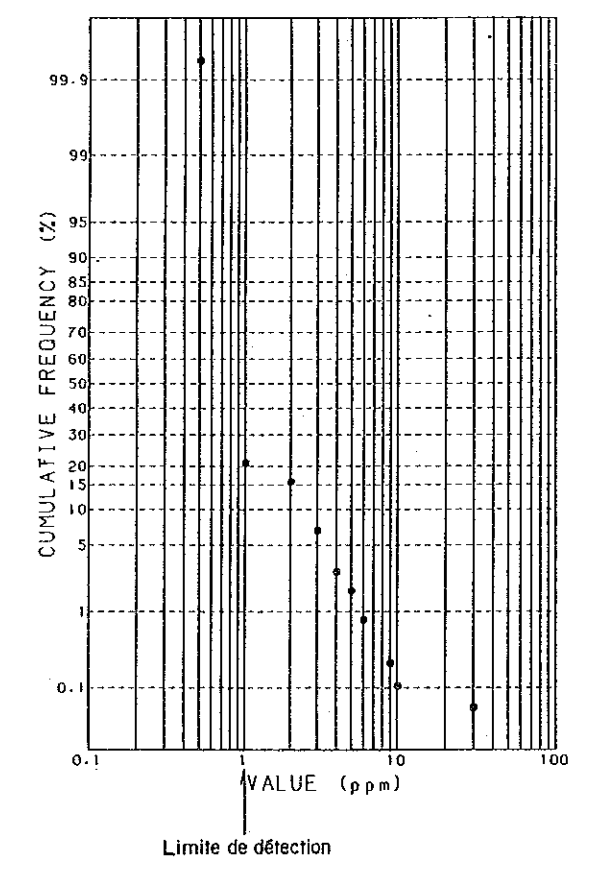


Apc.17 Carte des teneurs en Cu  
(La partie d'étude stratégique)

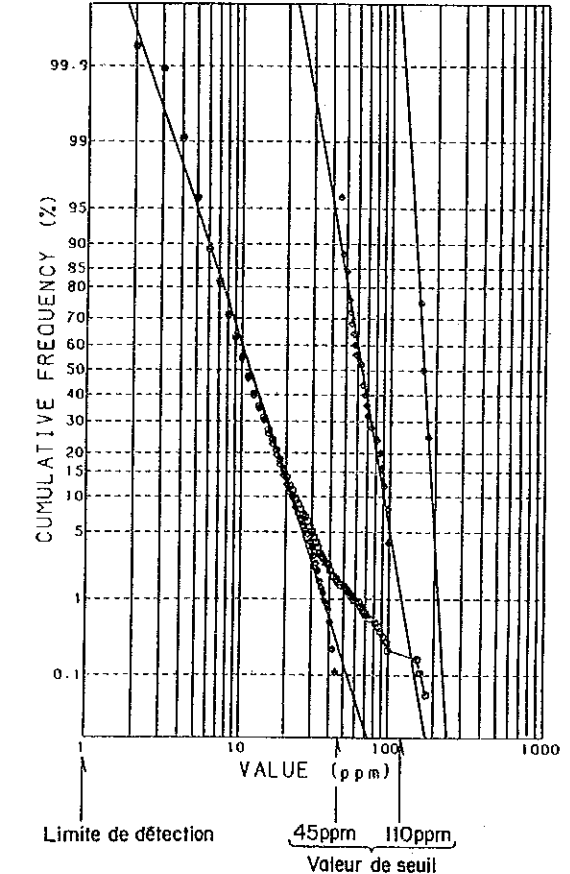
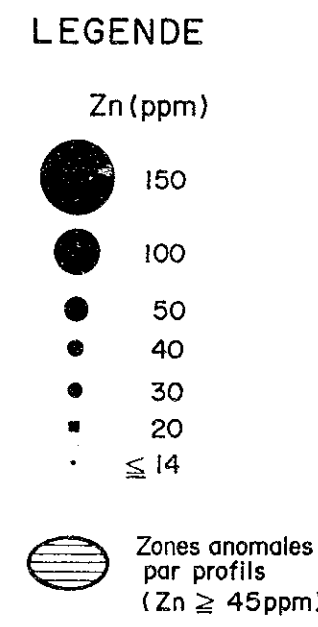
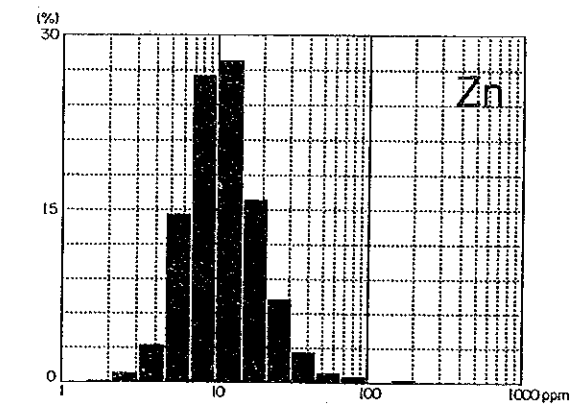
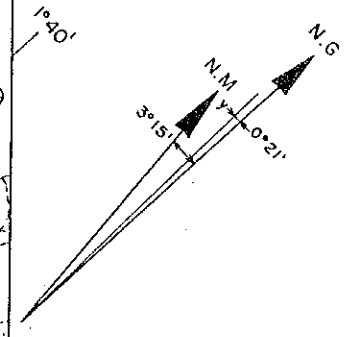
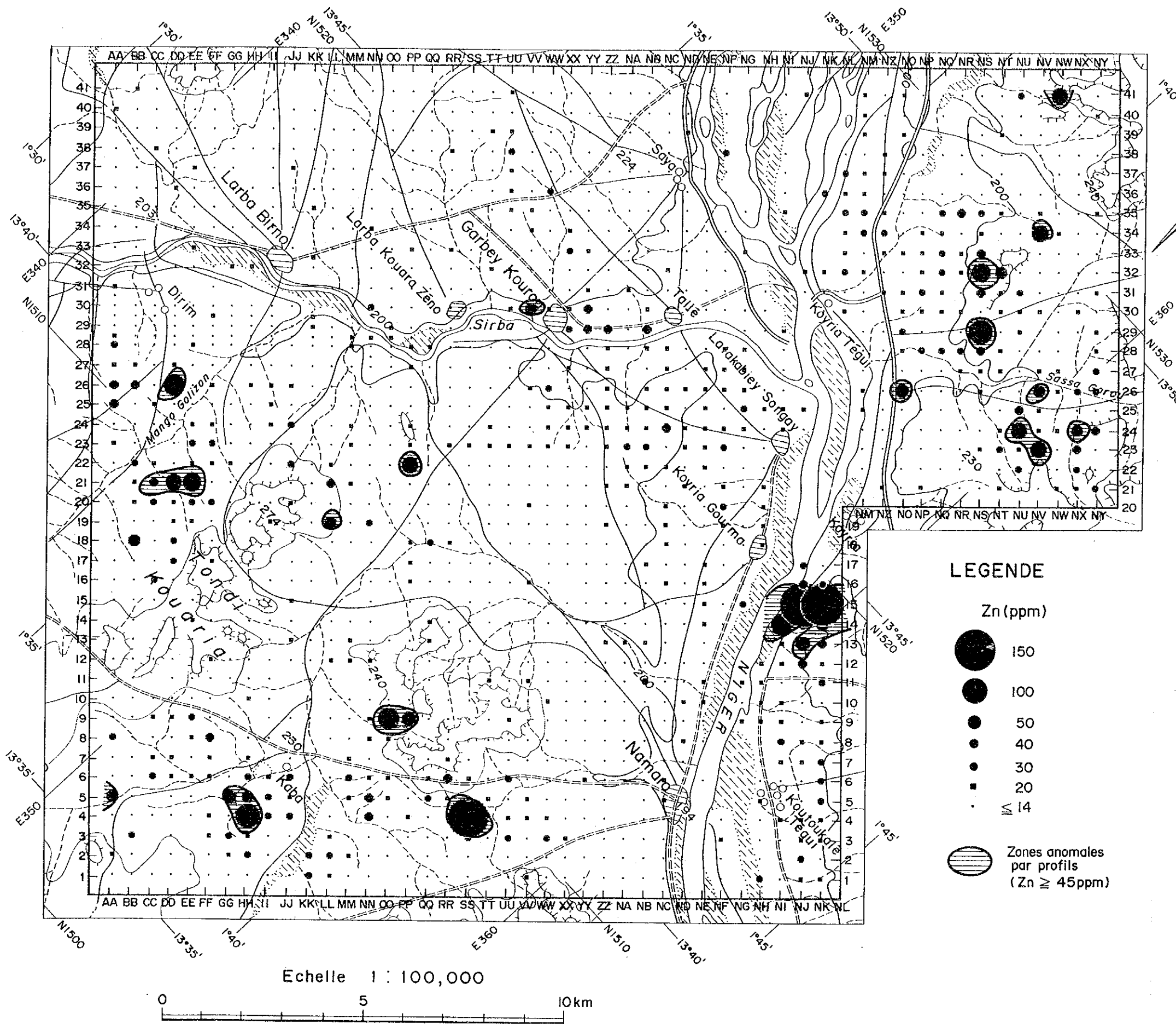


**LEGENDE**

- Pb (ppm)
- 30
  - 10
  - 8
  - 6
  - 4
  - 2
  - 1



Apc.18 Carte des teneurs en Pb  
(La partie d'étude stratégique)

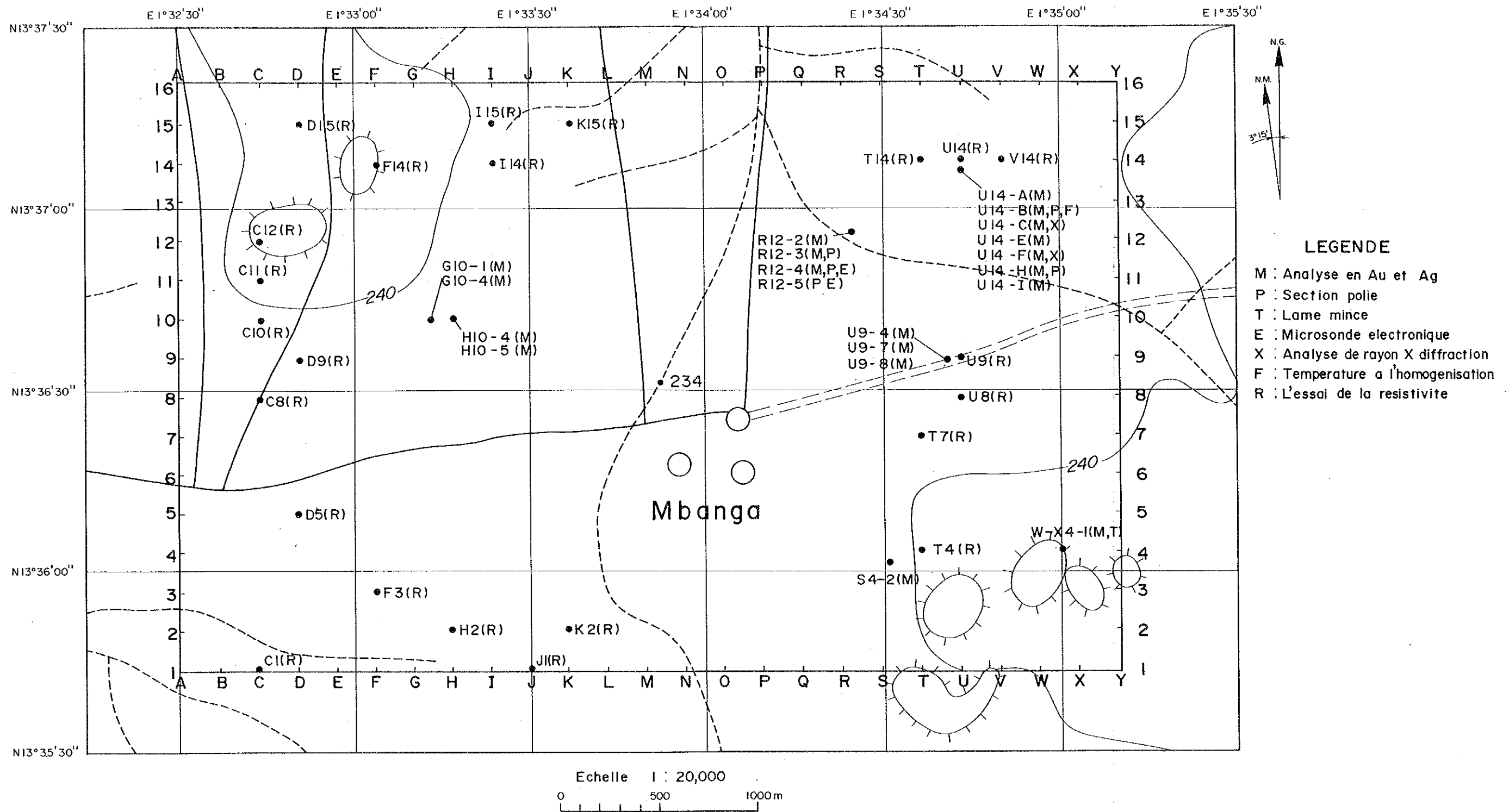


Apc.19 Carte des teneurs en Zn  
(La partie d'étude stratégique)

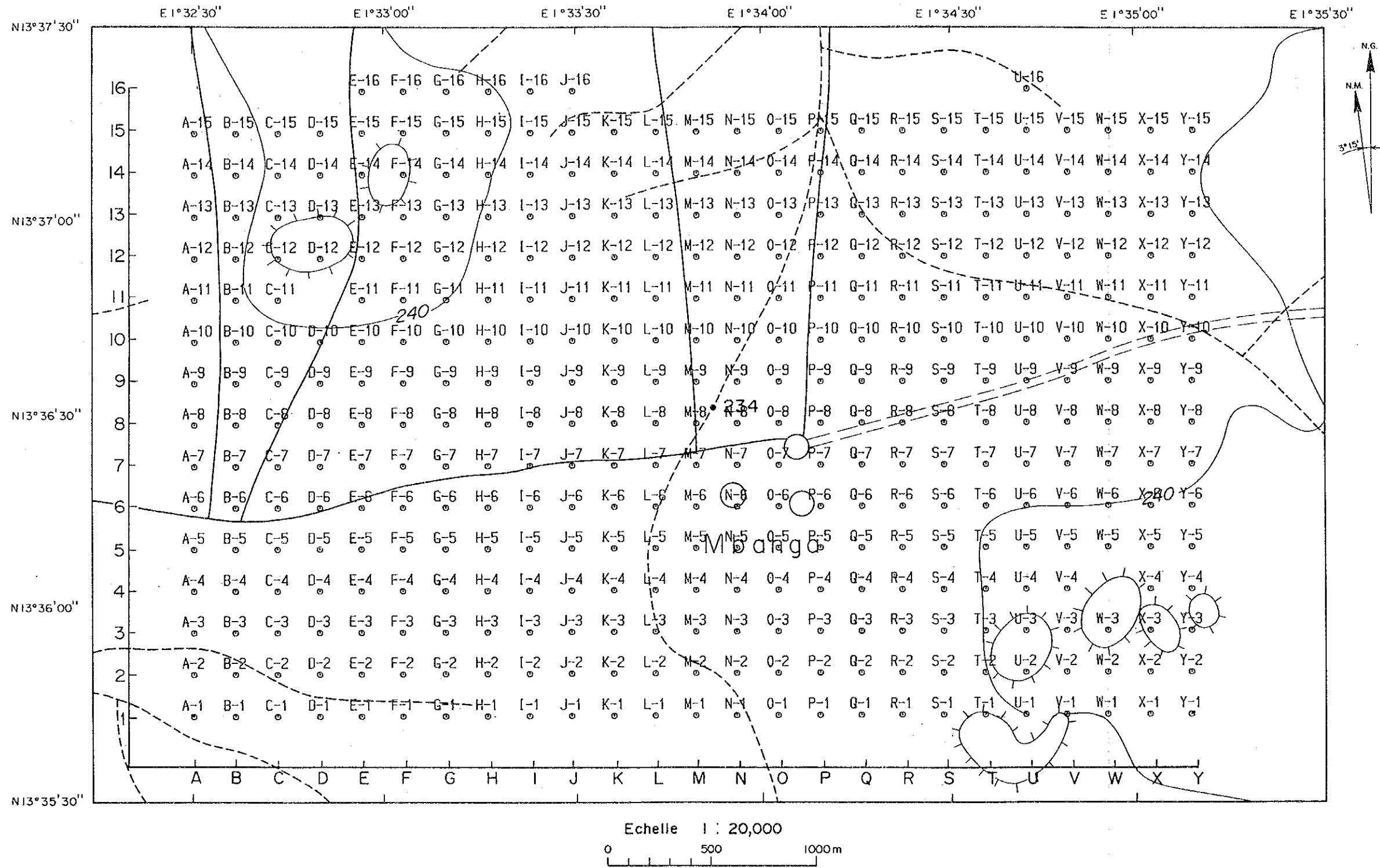


Apc.20-28 Résultat d'étude géochimique  
(La partie d'étude en détail)



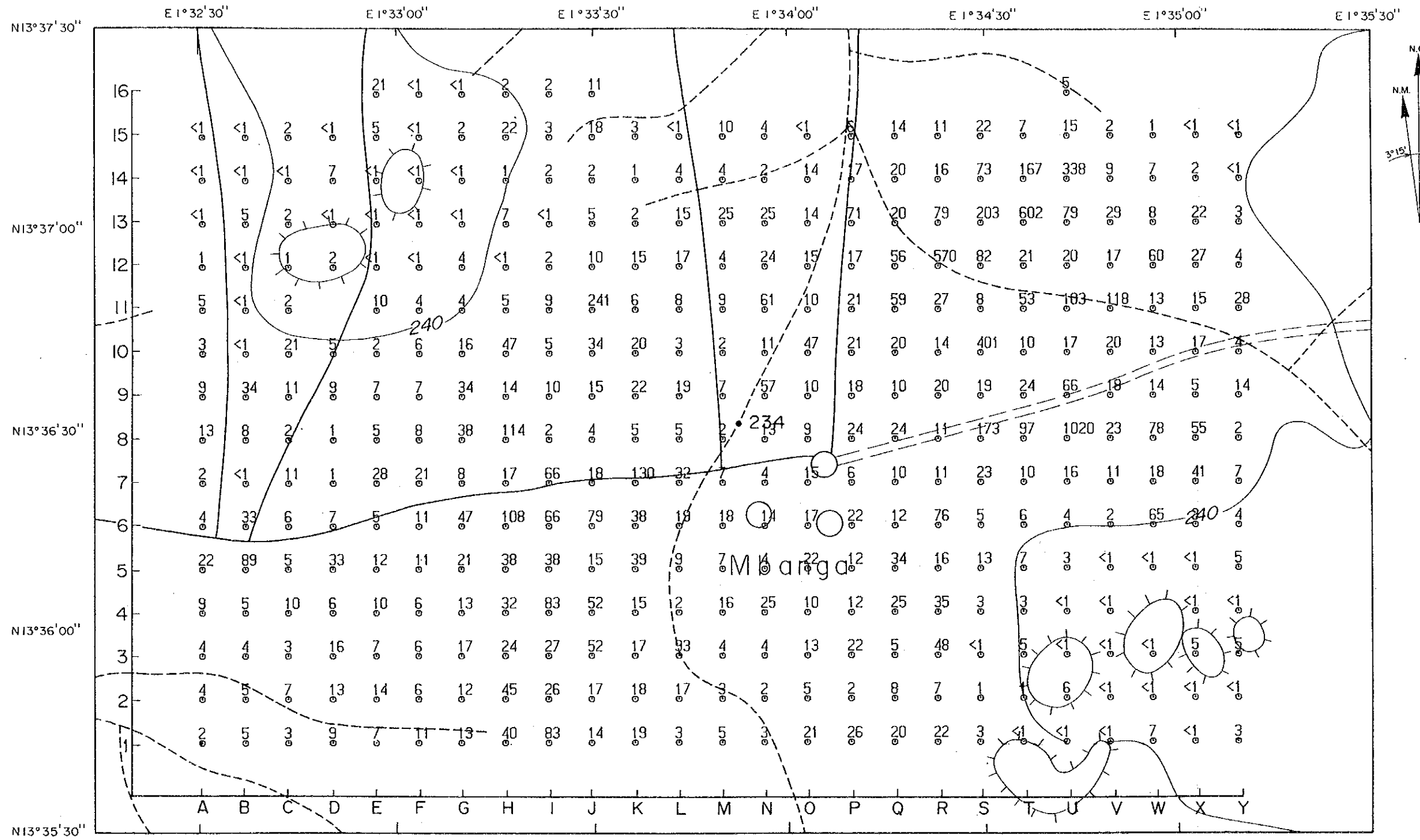


Apc.20 Points de prélèvement des échantillons des roches  
(La partie d'étude en détail)

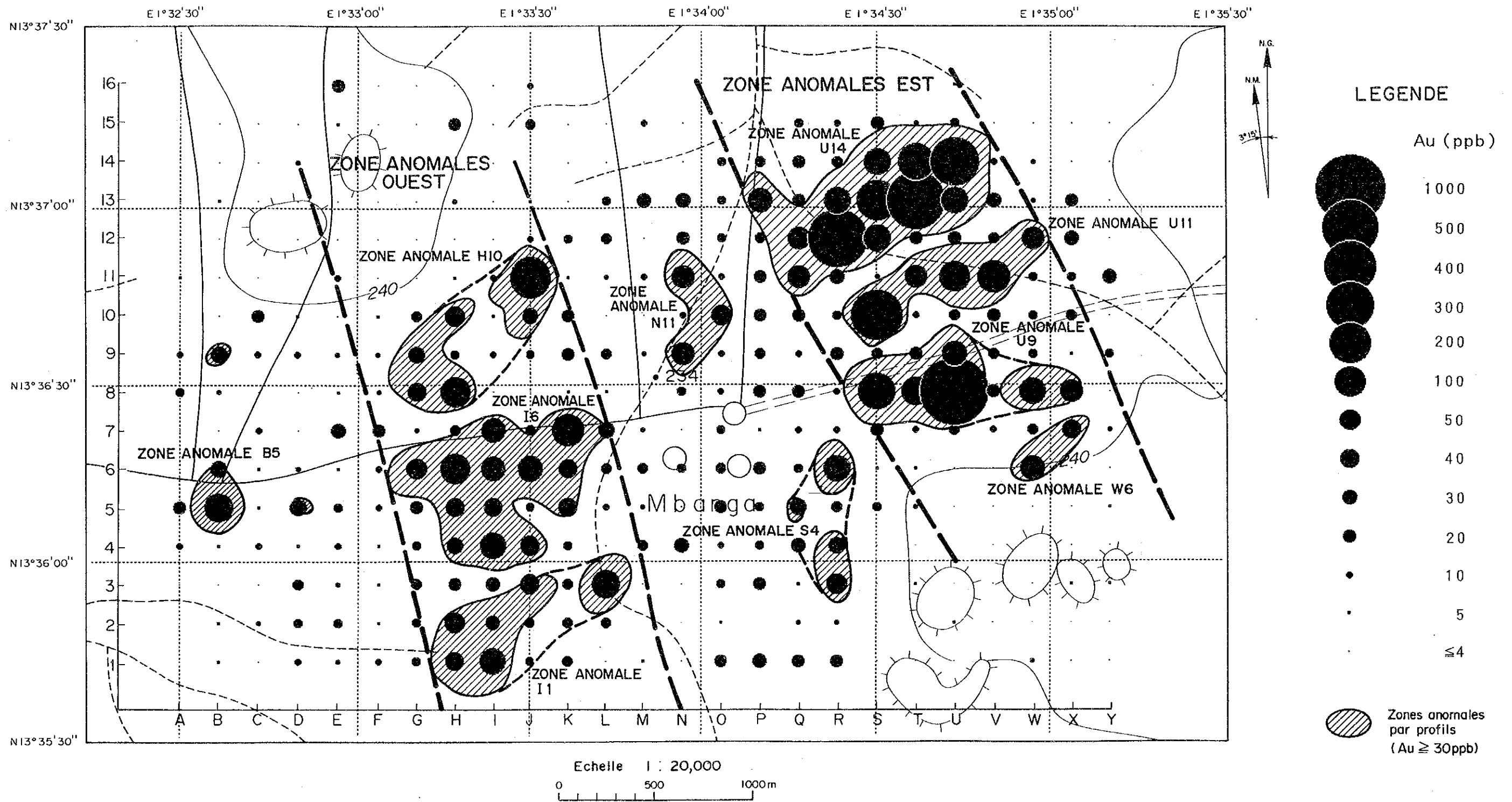


Apc.21 Points de Prélèvement des échantillon pour l'étude géochimique (La partie d'étude en détail)

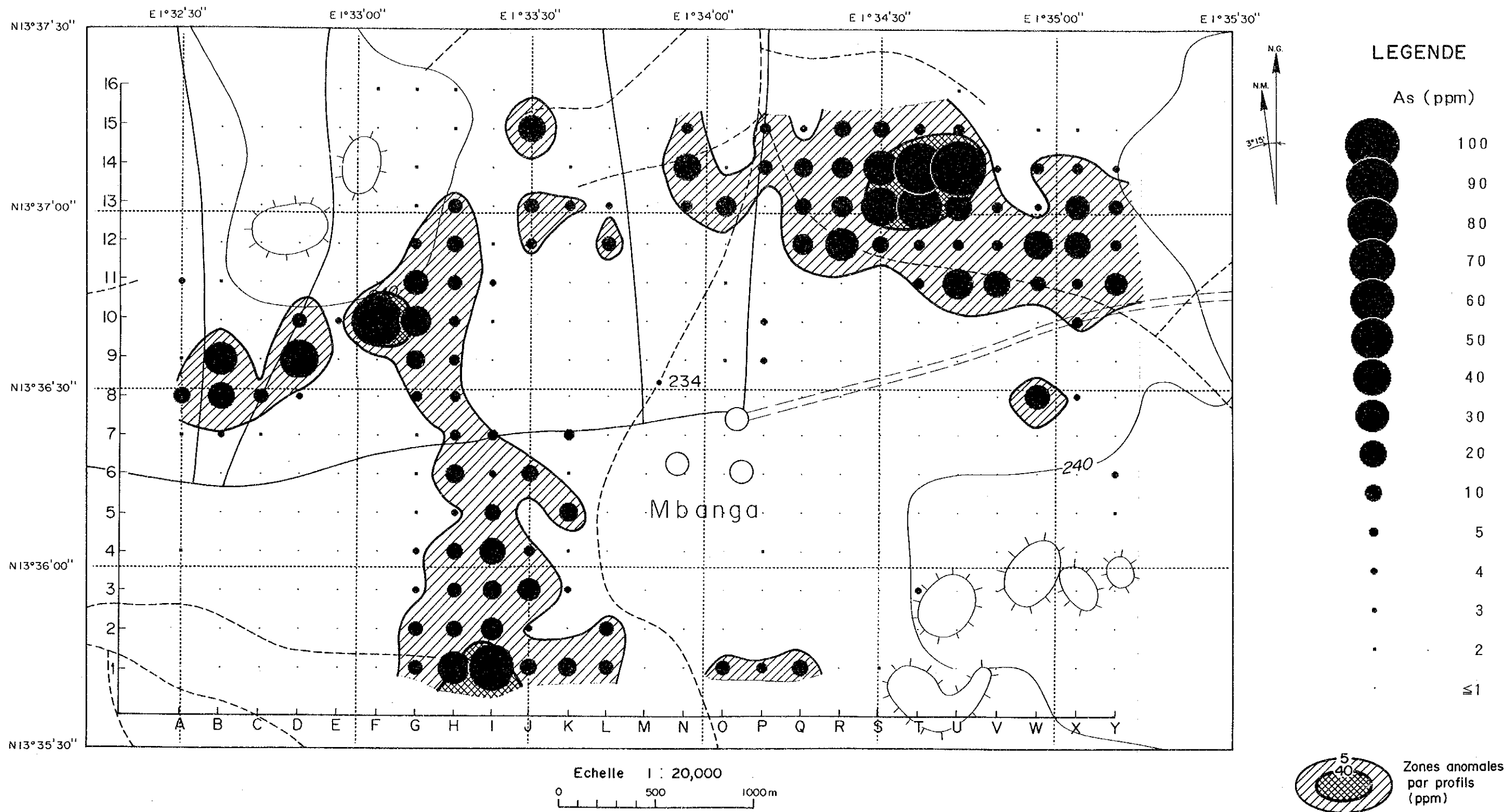




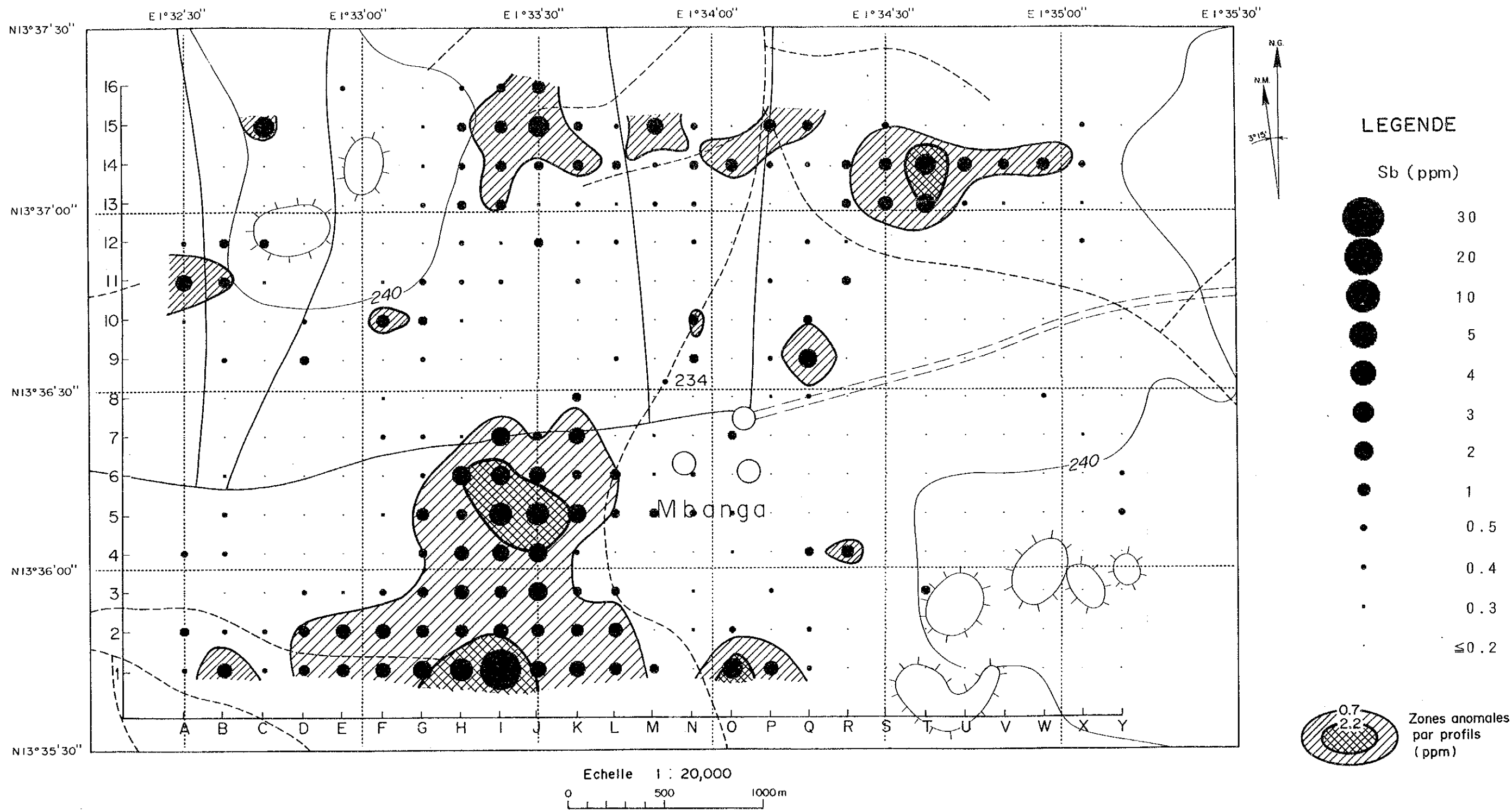
Apc.22 Points d'échantillonnage géochimique et teneurs en Au (La partie d'étude en détail)



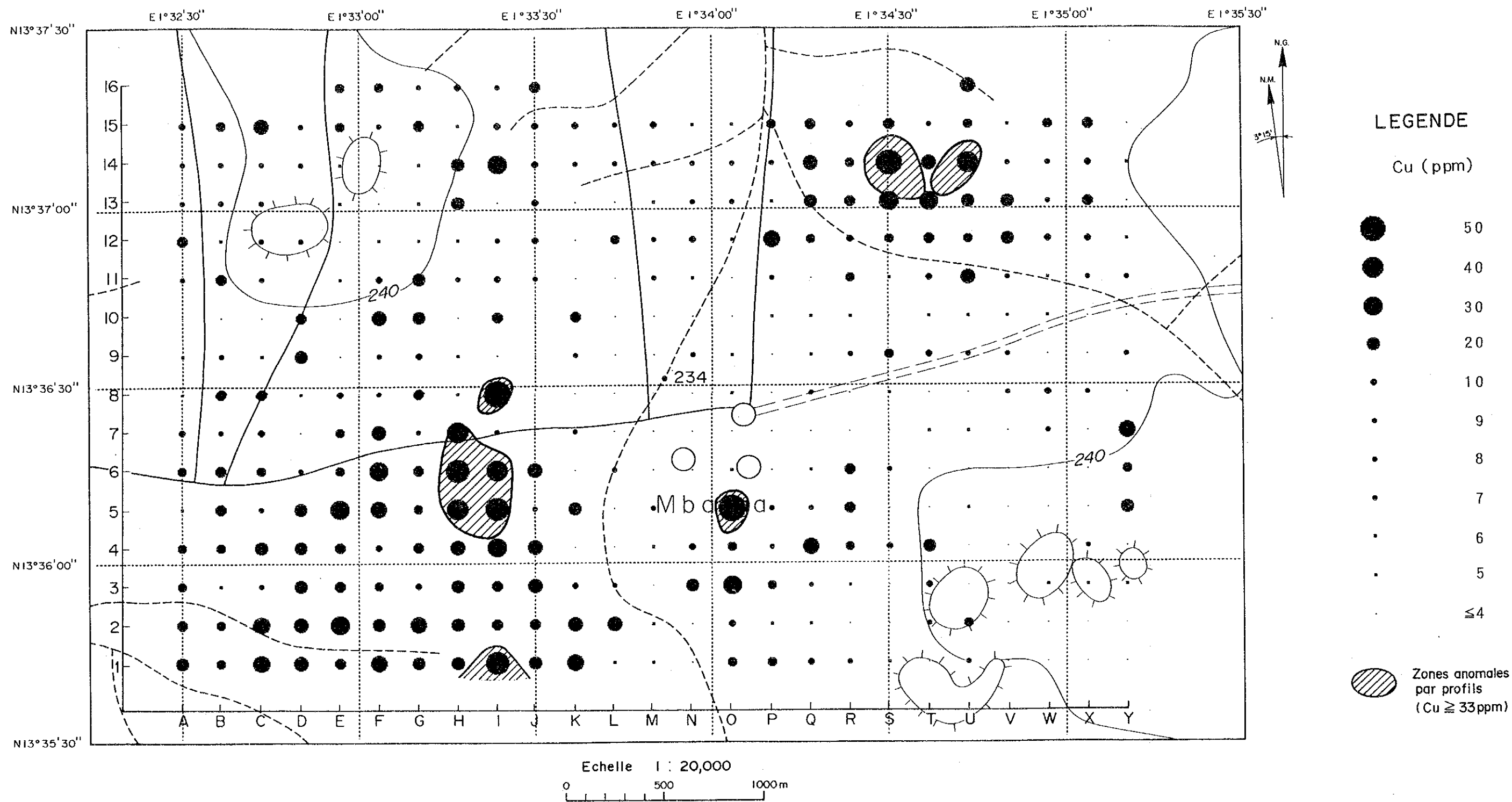
Apc.23 Carte des teneurs en Au  
(La partie d'étude en détail)



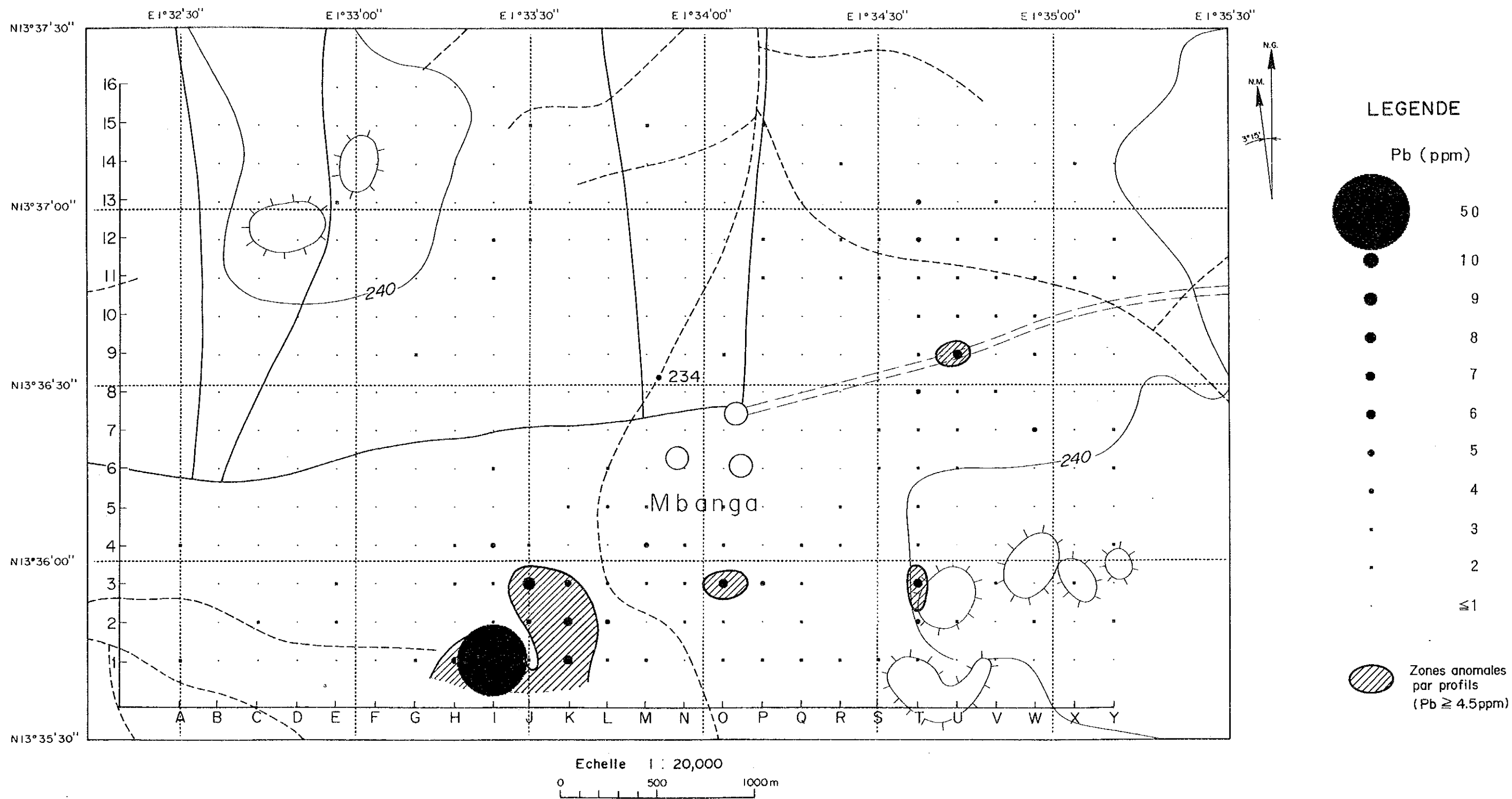
Apc.24 Carte des teneurs en As  
(La partie d'étude en détail)



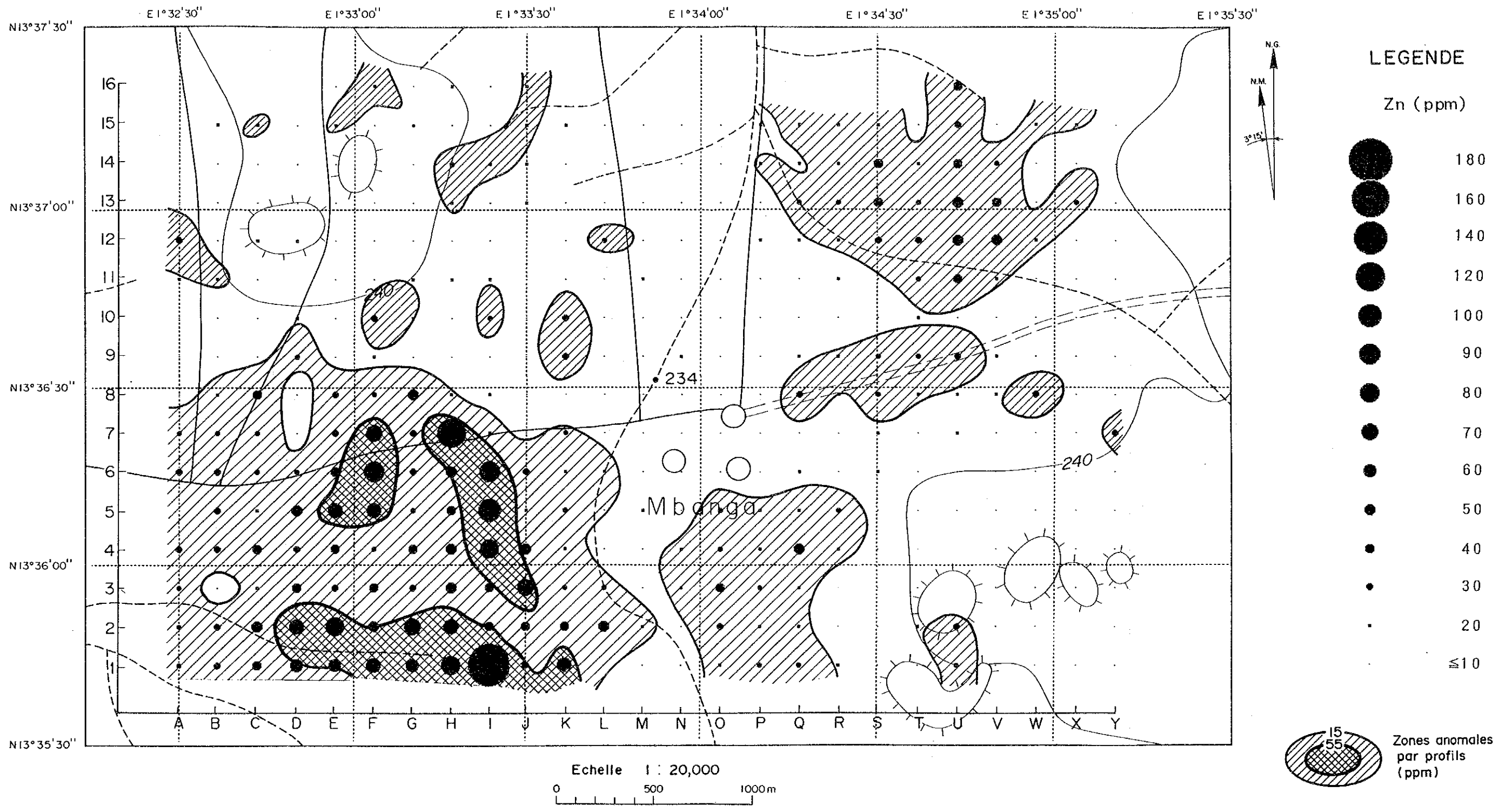
Apc.25 Carte des teneurs en Sb  
(La partie d'étude en détail)



Apc.26 Carte des teneurs en Cu  
(La partie d'étude en détail)



Apc.27 Carte des teneurs en Pb  
(La partie d'étude en détail)



Apc.28 Carte des teneurs en Zn  
(La partie d'étude en détail)





ApC.29 Présentation du calendrier d'exécution des sondages

	1992			1993	
	Octobre	Novembre	Décembre	Janvier	Février
Mobilisation Tokyo-Niamey -Séfa Nangue	1 16 17 28				
MJNS-1 150.0m	30 6				
MJNS-2 150.3m	20 31				
MJNS-3 150.5m		8 18			
MJNS-4 150.2m		21 29			
MJNS-5 150.3m			1 9		
MJNS-6 150.4m			31 8		
MJNS-7 150.7m			10 16		
MJNS-8 150.5m			11 17		
MJNS-9 150.3m				12 19	
MJNS-10 150.8m				27 4	
MJNS-11 150.0m				5 11	
MJNS-12 150.2m					
MJNS-13 150.2m		2 13			
MJNS-14 150.5m		22 1			
MJNS-15 150.6m		3 11			
MJNS-16 150.5m			22 29		
MJNS-17 150.3m			19 23		
MJNS-18 150.5m			13 20		
Démobilisation Séfa Nangue -Niamey-Tokyo				20 7	

Apc.30(1) Caractéristique des machines utilisées

Dénomination	Modèle	Spécification	Quantité
Sondeuse	L-38 (Longyear)	Capacité: NQWL 560m Diamètre intérieur d'Axe: 98mm Vitesse d'axe: 172, 357, 653, 1, 100rpm* Poids: 1450kg	1 jeu
Moteur	L-38 (Longyear)	Moteur électrique Force motrice: 22kw Force liée: 48p.s	1 jeu
Pompe	MG-15th (KOKEN)	TYPE: 2 piston Capacité(max): 130/min Pression(max): 40kg/cm	1 jeu
Moteur	MG-15th (KOKEN)	Moteur électrique Force motrice: 11kw Force liée: 20p.s	1 jeu
Pompe d'alimentation	MS1503 (YANMAR)	Type: 2 piston Capacité(max): 80/min Pression(max): 40kg/cm	1 jeu
Moteur	NFO13EK (YANMAR DIESEL)	Moteur diesel Rotation: 3,000rpm Force liée: 13.5p.s	1 jeu
Treuil et fil métallique	Pour L-38	Attaché à la sonde: 300m	1 jeu
Tour de forage	HRS-6	Tour structuré de tuyau	1 jeu
Group électrogène	DCA-60ss (DENYO)	Moteur Diesel: 60kva	1 jeu
Tuyau	WL 30d	NQWL 3m HQWL 3m	70 pcs. 30 pcs.
Réservoir d'eau		2m3	4 jeu
Tuyau d'alimentation		19mm tuyau polyvinylique	4,000 m

\*rpm: rotation par minute ou tours/minute

Apc.30(2) Caractéristique des machines utilisées

Dénomination	Modèle	Spécification	Quantité
Sondeuse	L-38MEGARO (Longyear)	Capacité:QWL 560m Diamètre intérieur d'axe:148mm Vitesse d'axe: 36,74,135,228rpm* Poids:1450Kg	1 jeu
Moteur	F3L9I2 MITSUI DEUTZ	Moteur Force motrice:diesel 54ps/2,500rpm	1 jeu
Pompe	MG-15th (KOKEN)	TYPE: 2 PISTON Capacité(max):130/min Pression(max):40kg/cm	1 jeu
Moteur	MG-15th (KOKEN)	Moteur électrique Force motrice:11kw Force liée:20p.s	1 jeu
Pompe d'alimentation	MS1503 (YANMAR)	Type:2piston Capacité(max):80/min Pression(max):40kg/cm	1 jeu
Moteur	NFO13EK (YANMAR DIESEL)	Moteur diesel Rotation:3,000rpm Force liée:13.5p.s	1 jeu
Treuil et fil Pour métallique	L-38	Attaché à la sonde:300m	1 jeu
Tour de forage	HRS-6	Tour structuré de tuyau	1 jeu
Group électrogène	DCA-60ss (DENYO)	MoteurDiesel:60kva	1 jeu
Tuyau	WL rod	QWL 3m HQWL 3m	70 pcs. 30 pcs.
Réservoir d'eau		2m3	4 jeu
Tuyau d'alimentation		19mm tuyau Polyvinylique	4,000 m

\*rpm:rotation par minute ou tours/minute



Item/Nom de trou	Mobilisation	MJNS-1	MJNS-2	MJNS-3	MJNS-4	MJNS-5	MJNS-6	MJNS-7	MJNS-8	MJNS-9	MJNS-10	MJNS-11	MJNS-12	MJNS-13	MJNS-14	MJNS-15	MJNS-16	MJNS-17	MJNS-18	Démobilisation	Total
Eléments de Sondage																					
Longueur de trou (m)		150.00	150.30	150.50	150.20	150.30	150.40	150.70	150.50	150.30	150.80	151.00	151.20	150.25	150.50	150.60	150.50	150.30	150.50		2708.85
Carotte (m)		144.00	141.90	144.60	140.40	143.20	145.90	142.55	145.75	140.10	145.60	124.55	146.10	146.80	144.30	146.20	147.70	146.50	143.95		2580.1
Récupération de carotte (%)		96.0	94.4	96.1	93.4	95.3	97.0	94.6	96.8	93.2	96.6	82.5	96.6	97.7	95.8	97.1	98.1	97.5	95.6		95.2
Profondeur sondée par (NW) (m)		3.00	3.00	3.00	3.00	3.00	2.70	2.70	2.70	2.70	3.00	2.70	2.70	3.00	3.00	2.70	2.70	2.70	2.70		
(NQ) (m)		147.00	147.30	147.50	147.20	147.60	147.70	148.00	147.80	147.60	147.80	126.45	148.50	147.30	147.30	147.90	147.80	147.60	147.80		2636.35
Longueur d'enveloppe de (NW) (m)		21.00	18.00	24.00	27.00	21.60	27.00	28.45	48.60	29.70	27.00	45.90	40.50	24.00	21.70	21.70	18.90	12.10			484.15
Sonde		L-38(B)	L-38(B)	TOM-3	L-38(B)	L-38(B)	L-38(B)	L-38(A)	L-38(A)	L-38(B)	L-38(B)	L-38(B)	L-38(B)	TOM-3	L-38(A)	L-38(A)	L-38(A)	L-38(B)	L-38(A)		
Période des travaux																					
Période de travail	10.1-10.14	10.14-10.29	10.29-11.7	10.18-10.31	11.8-11.19	11.20-11.30	12.1-12.10	12.31-1.9	1.10-1.17	12.11-12.18	1.12-1.20	12.25-1.4	1.5-1.11	11.1-11.14	11.15-12.1	12.3-12.12	12.22-12.30	12.19-12.24	12.13-12.21	1.22-2.7	10.1-2.7
Nombre de jours de travail (j)	14	15	10	13	11	11	10	9	8	8	9	9	7	14	18	10	8	6	9	17	216
non-travail (j)	0	1	0	1	1	0	0	1	0	0	0	2	0	0	0	0	1	0	0	0	7
Total des jours (j)	14	16	10	14	12	12	10	10	8	8	9	11	7	14	18	10	9	6	9	17	223
Installation		2.5	0.5	1	0.5	1	1	0.5	0.5	0.5	0.5	1	0.5	1	1	0.5	0.5	0.5	0.5		14
Forage (équipe)		10(19)	8.5(16)	11(21)	9.5(19)	9(17)	8(14)	7(19)	6.5(16)	6.5(13)	7.5(14)	7.5(15)	6(12)	12(23)	10(18)	8.5(17)	6.5(14)	4.5(10)	7.5(15)		146.5(288)
Démontage		1.5	1	1	1	1	1	1.5	1	1	1	0.5	0.5	1	1	1	1	1	1		17.5
Les autres		1	0	0	0	0	0	0	0	0	0	0	0	0	6	0	0	0	0		7
Total		16	10	14	12	11	10	10	8	8	9	11	7	14	18	10	9	6	9		192
Longueur de trou/Période de travail (m/j)		10	15.0	11.6	13.7	13.7	15.0	16.7	18.9	18.8	16.8	13.7	21.6	10.7	8.4	15.1	18.8	25.1	16.7		
de forage (m/j)		15	17.7	13.7	15.8	16.7	18.8	18.8	23.2	23.1	20.1	20.1	25.2	12.5	15.1	17.7	23.2	33.4	20.0		
/Nombre des équipes (m/j)		6.3	8.4	4.6	7.5	7.9	9.4	8.9	10.8	10.0	10.8	9.4	12.6	6.0	5.4	8.4	10.0	13.7	8.9		
Heures des travaux		65	105	124	119	100	92	83	82	78	85	83	67	147	102	105	81	68	99		1685
Heures de forage		24	32	24	28	48	56	40	80	56	56	96	96	32	40	40	80	80	40		948
Chargement et déchargement des tuyaux (h)		3	0	4	0	0	0	0	3	0	0	0	0	0	0	8	0	0	0		18
Reparation		92	137	152	147	148	148	123	165	134	141	179	163	179	142	153	161	148	139		2651
Démontage		40	8	20	4	8	8	4	3	6	7	8	5	16	16	3	3	4	6		169
Les autres		12	8	4	8	8	8	13	13	16	16	6	4	8	16	8	8	8	16		180
Total		10	0	0	0	0	0	0	0	0	0	0	0	0	40	0	0	0	0		50
Total		154	153	176	159	164	164	140	181	156	164	193	172	203	214	164	172	160	161		3050
Longueur de trou/Heure de forage (m/h)		1.0	1.4	1.2	1.3	1.5	1.6	1.0	0.8	1.9	1.8	1.8	2.3	0.7	0.7	0.9	0.9	2.2	0.9		23.9
Personnel																					
Sondeur	56	37	20	26	22	21	18	28	16	16	26	18	14	28	36	20	16	12	28	68	526
nigérian	56	37	20	26	22	21	18	28	16	16	26	18	14	28	36	20	16	12	28	32	490
Qouvrier	266	278	130	182	158	143	130	130	103	104	117	131	91	182	234	130	121	62	117	124	2933
Panpeur	4	16	10	14	11	11	10	10	8	8	9	11	7	14	18	10	9	6	9		195
Gardien	30	16	10	14	11	11	10	10	8	8	9	11	7	14	18	10	9	6	9	14	235
Qouvrier pour accès	90	64	40	52	44	44	40	40	32	32	36	56	28	56	72	40	32	40	36		874
Total	502	448	230	314	268	251	226	246	183	184	223	245	161	322	414	230	203	138	227	238	5253
Total des Personnes/Longueur de trous (n/m)		3.0	1.5	2.1	1.8	1.7	0.8	1.6	1.2	1.2	1.5	1.6	1.1	2.1	2.8	1.5	1.3	0.9	1.5		

Apc.32 Organisation et calendrier de réalisation des sondages

